



Vlaanderen
is omgeving

Onderzoek naar het voorkomen van ongezonde stoffen in het binnenmilieu door non-targeted screening van stofstalen

Onderzoek naar het voorkomen van ongezonde stoffen in het binnenmilieu door non-targeted screening van stofstalen

Projectnummer - **OMG/VPO/2021/005**

Dit rapport bevat de mening van externe auteur(s) en niet noodzakelijk die van de Vlaamse overheid.

COLOFON

Verantwoordelijke uitgever

Adrian Covaci
Toxicologisch Centrum
Universiteitsplein 1, 2610 Wilrijk
Adrian.Covaci@Uantwerpen.be

Auteurs

Toxicologisch Centrum (TC) UAntwerpen
Vlaamse Instelling voor Technologisch Onderzoek (VITO)

Lidia Belova – Toxicologisch Centrum
Maarten Roggeman – Toxicologisch Centrum
Yunsun Jeong – Toxicologisch Centrum
Dahye Kim – Toxicologisch Centrum
Thomas McGrath – Toxicologisch Centrum
Adam Cseresznye – Toxicologisch Centrum
Paulien Cleys – Toxicologisch Centrum
Fatima den Ouden – Toxicologisch Centrum
Jasper Bombeke – Toxicologisch Centrum
Shanshan Yin – Toxicologisch Centrum

Lu Zhao – Toxicologisch Centrum
Yu Ait Bamai – Toxicologisch Centrum
Celine Gys – Toxicologisch Centrum
Giulia Poma – Toxicologisch Centrum
Adrian Covaci – Toxicologisch Centrum
Jan Peters – VITO
Patrick Berghmans - VITO
Ann Collens -VITO
Rob Brabers – VITO
David Poelmans – VITO

Publicatiedatum

Eerste versie: 08/12/2022
Tweede versie: 31/05/2023
Derde versie: 10/07/2023

Depotnummer

D/2023/3241/272



ABSTRACT

Indoor dust is an important human exposure route for organic contaminants, especially for toddlers due to frequent hand-mouth contact. The estimation of the risk posed by exposure via indoor dust depends on the levels of contamination. Currently, the knowledge available on certain contaminants is extensive, while other contaminants of emerging concern (CECs) remain understudied or even completely unknown. Therefore, this project aims to identify organic contaminants present in Flemish indoor dust samples with special attention to CECs. More than 15000 contaminants have been screened in 46 dust samples from homes and public spaces. Dust samples were analyzed using both gas chromatography coupled to mass spectrometry (GC-MS) and liquid chromatography coupled to high-resolution mass spectrometry (LC-HRMS), thus maximizing the range of detectable compounds. GC-MS analysis resulted in the identification of 12 n-alkane compounds and 25 persistent organic pollutants belonging to the polychlorinated biphenyls (PCBs), the polybrominated diphenyl ethers (PBDEs) and the organochlorine pesticides (OCPs). Identification with LC-MS was performed implementing the confidence levels (CL) proposed by Schymanski et al. This resulted in the identification of 155 contaminants at CL1 to CL3 belonging to the classes of phthalates (n=8), alternative plasticizers (APs) (n=6), organophosphate flame retardants (PFRs) (n=17), per- and polyfluoralkyl substances (PFAS) (n=50), quaternary ammonium compounds (QACs) (n=33), polar and mobile contaminants (PMs) (n=17), synthetic antioxidants, UV stabilizers, personal care product-derived compounds, fungicides, pharmaceuticals and others.

Several novel compounds have been identified in this study. Firstly, three phthalates with side chains carrying uneven numbers of carbons were identified, pointing towards a novel class of phthalates. Secondly, three phosphate flame retardants, namely bis(2,4-di-tert-butylphenyl)pentaerythritol diphosphate (BDTPDP), bis(2-butoxyethyl) butyl phosphate (BBOEBP) and didecyl butoxyethoxyethyl phosphate (DDeBEEP) were identified. Lastly, multiple novel contaminants belonging to the class of QACs are reported. For these novel compounds, potential health effects have been described.

Semi-quantification was performed for several of the detected compounds, resulting in the calculation of approximate concentrations. Phthalates had a median and maximum concentration ranging from < LOD - 73.1 µg/g and 30.7 - 645.5 µg/g. For the PFRs, median and maximum concentrations ranged from < LOD - 2.3 µg/g and 0.9 - 51.3 µg/g. For phthalates and PFRs, co-occurrence of high concentrations for several compounds of one class was observed in several samples. From the remaining CECs, the highest concentration was measured for the alternative plasticizer, di(2-ethylhexyl)adipate, with a median concentration of 10.9 µg/g. Median and maximum concentrations of QACs ranged from < LOD and 2.99 µg/g and from 0.01 µg/g to 32.23 µg/g, respectively, which is comparable to the concentration range observed for PFRs. Although, the concentration of QACs in the current samples was lower than in indoor dust collected in the USA.

Based on the semi-quantified results, estimated daily intakes (EDI) and hazard quotients (HQ) were calculated. EDIs ranged from 9.36E-12 to 7.25E-07 mg/kg lg/dag; 1.09E-09 to 1.2E-05 mg/kg lg/dag; 2.14E-07 to 3.74E-04 mg/kg lg/dag and 0.24E-07 to 3.96E-05 for PCBs, PFRs, phthalates and QACs, respectively. This resulted in median HQs that indicated no health risks from exposure to any individual contaminant following dust ingestion. Only for the polychlorinated biphenyls (PCBs), two samples showed potential health risks for toddlers following the worst-case exposure scenario. Interestingly, two out of the three phthalates with uneven numbered substituents had EDIs in the same order of magnitude as the values obtained for well-studied homologues such as di(2-ethylhexyl)

phthalate. Similarly, for the novel PFRs, both BDTPDP and BBEBP had EDIs that were comparable with their well-studied counterparts.

In conclusion, for several of the novel compounds identified in this study, a biomonitoring strategy has been proposed which should allow their measurement to improve the understanding of human exposure to these contaminants. For the PFRs, phthalates and alternative plasticizers, quantification of their metabolized forms in urine is recommended due to the fast hydrolysis in the human body and their fast excretion. As many of these novel contaminants have an exposure risk similar to their older counterparts, their incorporation in biomonitoring strategies is highly recommended.



Inhoudstafel

Abstract	4
1 Introductie	8
1.1 Situering van de opdracht	8
1.2 Doel en opbouw van de opdracht	8
2 Selectie van binnenomgevingen en STAALNAMEPROTOCOL	10
2.1 Inleiding	10
2.2 Selectie van adressen voor staalname	10
2.3 Selectie van staalnameprotocol	12
2.4 Overzicht van de stofstalen	13
2.4.1 Opdeling naar bouwjaar	13
2.4.2 Opdeling naar ligging	14
2.4.3 Verdere typering	14
2.5 communicatie met deelnemers	14
3 UITVOERING STAALNAME EN ANALYSE VOOR NON-TARGET SCREENING en semi-kwantificatie VAN STOFSTALEN	15
3.1 materiaal en methode	15
3.1.1 Staalvoorbereiding van stof en analyse in GC (POP's, pesticiden) en LC (PFR's, weekmakers, andere)	15
3.1.2 Staalvoorbereiding van stof en analyse in LC voor QAC's, PM's en PFAS	15
3.1.3 Instrumentatie	15
3.1.4 Analyse van de met behulp van GC verkregen gegevens	16
3.1.5 Analyse van met LC verkregen gegevens voor de algemene screening van CEC's en screening op QAC's, PFAS en PM's	16
3.1.6 Semikwantificatie	17
3.1.7 Statistische analyse	18
3.2 resultaten non-target screening en semi-kwantificatie	19
3.2.1 Non-polaire contaminanten met GC-MS	19
3.2.2 Opkomende contaminanten (CEC's) met LC-HRMS	23
3.2.3 Per- en polyfluoroalkyl substanties (PFAS) met LC-HRMS	31
3.2.4 Quaternaire ammonium componenten (QACs) met LC-HRMS	36
3.2.5 Persistente en mobiele chemicaliën (PMs) met LC-HRMS	40
4 EVALUATIE POTENTIËLE GEZONDHEIDSEFFECTEN en OPMAAK STRATEGIE HBM PROGRAMMA	45
4.1 Overzicht van mogelijke gezondheidseffecten van gedetecteerde chemicaliën	45
4.1.1 Opkomende verontreinigende stoffen	45
4.1.2 Per- en polyfluoroalkyl substanties (PFAS)	47
4.1.3 Quaternaire ammonium verbindingen (QACs)	47
4.1.4 Persistente en mobiele chemicaliën (PMs)	48
4.2 Evaluatie interne dosis van componenten gemeten via suspect screening van het stof	49
4.2.1 Niet-polaire contaminanten	49
4.2.2 Opkomende contaminanten (CEC's)	50
4.2.3 Quaternaire ammonium componenten (QACs)	54
4.3 voorstel voor HBM-programma	54
4.3.1 Opkomende chemicaliën (CECs)	54
4.3.2 Quaternaire ammonium componenten (QACs)	62
4.3.3 Per- en polyfluoroalkyl stoffen (PFAS)	62
4.3.4 Persistente en mobiele chemicaliën (PMs)	62
5 Conclusies	64

6	AANBEVELINGEN	66
7	Referenties	67
8	Bijlage	74
8.1	Bijlage A	74
8.2	Bijlage B	75
8.3	Bijlage C	78
8.4	Bijlage D	79
8.5	Bijlage E	87
8.6	Bijlage F	89
8.7	Bijlage G	93



1 INTRODUCTIE

1.1 SITUERING VAN DE OPDRACHT

We spenderen meer dan 80% van onze tijd door in een binnenomgeving, zeker in de winter. Door de COVID-19 uitbraak is er veel bewustzijn over het belang van gezonde binnenlucht. De binnenomgeving is bovendien meestal meer vervuild dan onze buitenomgeving. Vaak weten we niet welke ongezonde stoffen er in de binnenlucht of in het stof in de binnenomgeving aanwezig zijn. Chemische verbindingen, bv. vlamvertragers en weekmakers, worden toegepast in verschillende producten om hun eigenschappen te verbeteren. Toch is voorzichtigheid geboden, omdat deze chemicaliën uit de producten kunnen lekken. Deze chemicaliën kunnen verschillende gezondheidsrisico's inhouden (bv. hormoonverstoorders). De gebruikte chemische verbindingen evolueren continu zodat in het binnenmilieu steeds nieuwe verbindingen worden ontdekt.

Om een inschatting te kunnen maken van de aanwezigheid van “nieuwe” chemische verbindingen in het binnenmilieu, kan door non-targeted en screening analyse van stofstalen uit de binnenomgeving een inventaris worden opgemaakt van hun aanwezigheid in het binnenmilieu. Non-targeted en suspect screening analyse laat toe om op een efficiënte manier “nieuwe” chemische verbindingen te detecteren en te identificeren, zonder vooraf de mogelijk interessante stoffen voor blootstelling te selecteren. Bij suspect screening analyse wordt een lijst van stoffen (>15000) vergeleken met de signalen in een bepaalde matrix, hier stofstalen uit de binnenomgeving. Hiertegenover gaat non-target analyse uit van de massa spectrometrische signalen in een bepaalde matrix om hieruit chemische verbindingen te identificeren.

De inventaris kan leiden tot betere kennis/inzicht in de aanwezigheid van chemische verbindingen in het binnenmilieu, wat dan moet leiden tot beter onderbouwde beleidsbeslissingen over een gezonde binnenomgeving (bv. binnenlucht) en wetenschappelijk onderbouwing van campagnes voor een gezonde binnenomgeving. In de toekomst kunnen linken worden gemaakt met de interne blootstelling van bewoners en de resultaten van de analyses van de stofstalen i.k.v. het Vlaams humaan biomonitoringprogramma.

1.2 DOEL EN OPBOUW VAN DE OPDRACHT

Binnen deze opdracht willen we met behulp van non-target en suspect screening analyse onderzoeken welke stoffen aanwezig zijn in stofstalen uit de binnenomgeving en op basis hiervan een evaluatie mogelijk te maken van hun mogelijk effect op de gezondheid.

De opdracht uit 4 verschillende fasen:

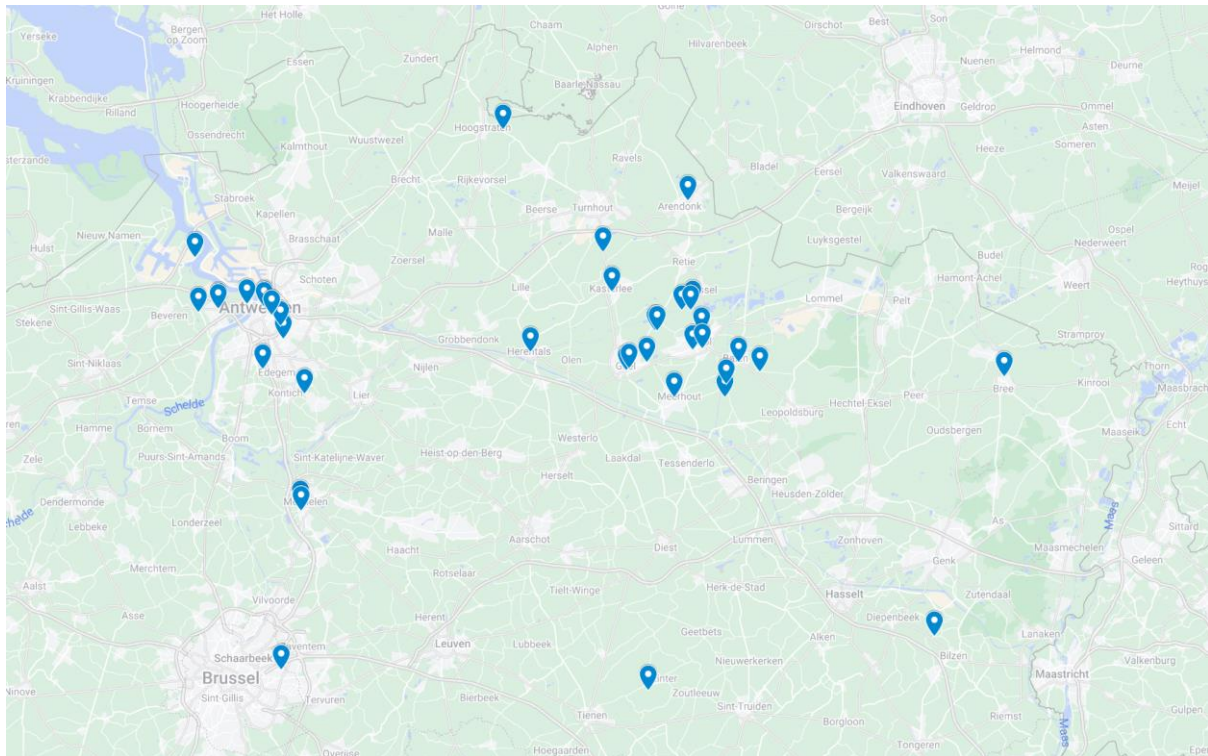
- In **fase 1** wordt, in overleg met de stuurgroep, een selectie gemaakt van binnenomgevingen met mogelijke bronnen om een grote variëteit aan (nieuwe) chemische stoffen te bekomen. Het aantal geselecteerde binnenomgevingen (privé woongelegenheden, klassen, openbare gebouwen, ...) wordt geoptimaliseerd in functie van het beschikbare budget. Bij het startoverleg zal worden toegelicht hoe deze selectie gebeurt en welke stappen nodig zijn voor o.a. toestemming in verband met staalname en rapportering naar de eigenaars/bewoners.

- In **fase 2** wordt op basis van deze selectie op alle adressen stofstalen uit de binnenomgeving verzameld, waarbij een voldoende hoeveelheid staal wordt verzameld voor het eventueel toepassen van een extra analyse naar concentratie van bepaalde chemische stoffen. Op de verkregen stalen wordt na gepaste staalvoorbereiding een non-target en screening analyse uitgevoerd.
- In **fase 3** wordt een evaluatie van de geïdentificeerde chemicaliën uitgevoerd naar een mogelijk effect op de menselijke gezondheid. Indien haalbaar, wordt in deze fase een heranalyse van de verzamelde stofstalen uitgevoerd, waarbij de concentraties van de belangrijkste gevonden chemische stoffen semi-kwantitatief bepaald worden (dit is immers belangrijk naar zowel effect op gezondheid, als een inschatting van bronnen).
- Op basis van de verkregen resultaten, zal in **fase 4** een staalname- en analysestrategie worden opgemaakt in functie van humane biomonitoring, rekening houdend met de resultaten van de non-target screening en de effectieve concentratiebepalingen.

De verschillende onderzoeksfasen werden opeenvolgend afgewerkt.

Tabel 1: Overzicht van het totaal aantal adressen voor staalname, en de opdeling per provincie.

	Aantal adressen voor staalname:
Totaal aantal adressen	40
Aantal adressen per provincie:	
Antwerpen	34
Limburg	2
Oost Vlaanderen	2
Vlaams Brabant	1
Brussels Hoofdstedelijk Gewest	1



Figuur 1: Overzicht van de adressen voor staalname op kaart.

Bij de selectie werd rekening gehouden met de functie van het gebouw. Hiervoor werd een opsplitsing gemaakt tussen particuliere woongelegenheden en andere gebouwen. De categorie “andere gebouwen” kan verder opgedeeld worden naar functie, o.a. kantoor, campus en sportinfrastructuur. De proportionele verdeling van het aantal staalnamelocaties ligt op 60% voor woningen en 40% voor andere gebouwen (Tabel 2).

De voor PFAS verkregen gegevens worden vergeleken op basis van het aantal gedetecteerde verbindingen per staal, aangezien er geen semikwantitatieve concentraties beschikbaar waren. Daarbij werd dezelfde steekproefgroepering en testaanpak toegepast.

3.2 RESULTATEN NON-TARGET SCREENING EN SEMI-KWANTIFICATIE

3.2.1 Non-polare contaminanten met GC-MS

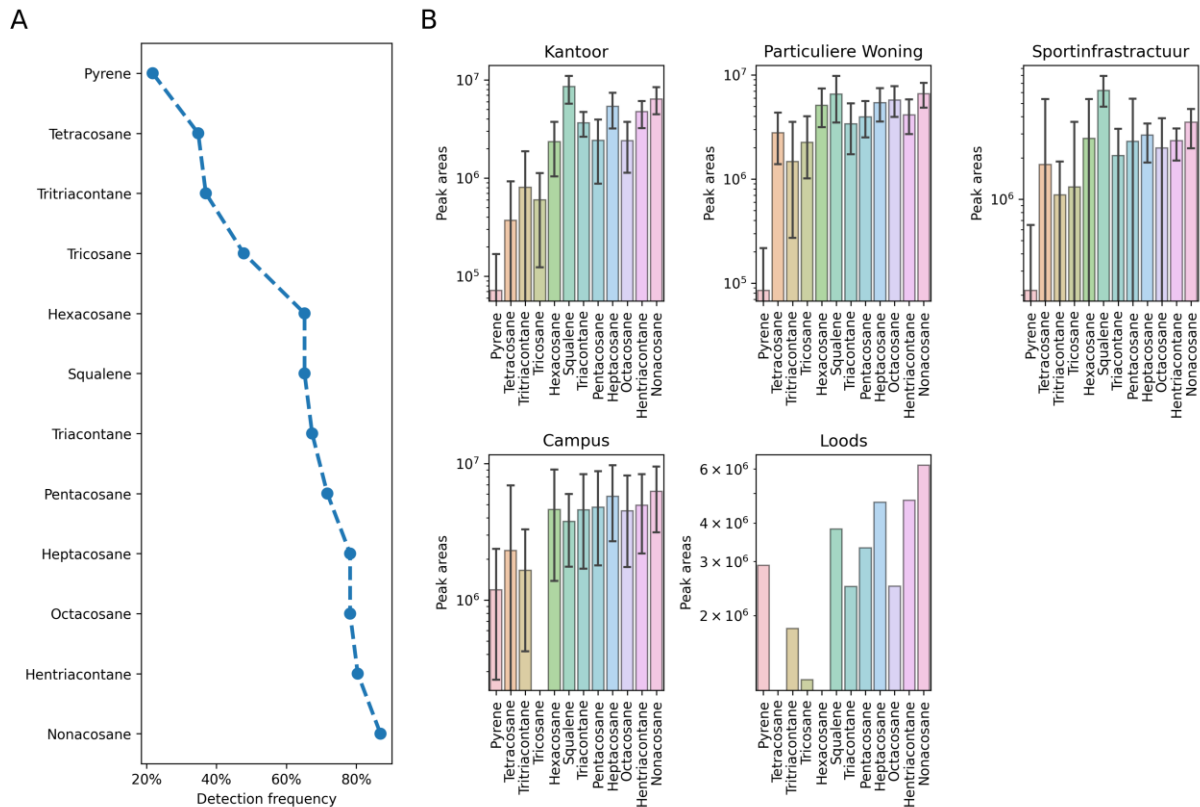
Persistente organische pollutanten (POP's), waaronder organochloorpesticiden (OCP's), polychloorbifenylen (PCB's), polybroomdifenylethers en polycyclische aromatische koolwaterstoffen (PAK's) zijn een zeer diverse reeks verbindingen met uiteenlopende hydrofobe eigenschappen (Alves et al., 2014). Door hun grotere neiging tot accumulatie in de vetlagen van ons lichaam, in combinatie met hun grote stabiliteit en resistentie tegen aantasting door het milieu, zijn zij zeer gevaarlijk voor de menselijke gezondheid (tabel 4). POP's worden consequent aangetroffen in alle leeftijdsgroepen. Blootstelling aan deze chemische stoffen wordt in verband gebracht met onder meer hart- en vaatziekten, kanker, zwaarlijvigheid en hormoonontregeling (Carpenter, 2011). Hoewel er na het Verdrag van Stockholm, inspanningen zijn geleverd om de productie en het gebruik van de meeste van deze chemische stoffen te elimineren, kunnen er nog steeds oude POP's worden aangetroffen in stofstalen van de binnenomgeving, wat wijst op onze blootstelling (Corsolini et al., 2021).

Tabel 4: Gezondheidsimplicaties van verbindingen die geschikt zijn voor GC-MS-analyse

Chemische klasse	Bronnen voor aanwezigheid stof	Implicaties voor de gezondheid
POPs	<ul style="list-style-type: none">• PCB's: transformatoren, warmteoverdrachtstoeffens, additieven• PBDE's: elektrische apparatuur, bouwmaterialen, textiel• OCP's: Gebruikt in de landbouw, muggenbestrijding	<ul style="list-style-type: none">• harten vaatziekten, zwaarlijvigheid, hormoonontregeling, kanker?
n-Alkanen	<ul style="list-style-type: none">• Fossiele brandstoffen (koken, verwarming, uitlaatgassen van voertuigen, industriële productie)• Plantenschubben (potplanten binnenshuis, nabije buitenvegetatie)	<ul style="list-style-type: none">• Alkanen, C12-26-(vertakt en lineair) ingedeeld als kankerverwekkend in de EU volgens de geharmoniseerde indeling en etikettering (CLP00)• Gegevens beperkt voor alkanen met langere ketens, lagere toxiciteit waarschijnlijk
Pyreen	<ul style="list-style-type: none">• Onvolledige verbranding van organische brandstoffen (koken, hout of gasverwarming, uitlaatgassen van voertuigen)	<ul style="list-style-type: none">• PAK's kankerverwekkend, gegevens voor pyreen beperkt
Squaleen	<ul style="list-style-type: none">• Aanwezig in huidverzorgingscosmetica• Komt ook van nature voor in de menselijke huid	<ul style="list-style-type: none">• Geringe toxiciteit

Uit de gerichte analyse van POP's bleek dat 14 van de 25 verbindingen in ten minste 20% van de stalen konden worden gedetecteerd (figuur 2A). De belangrijkste klasse van verontreinigende stoffen waren polychloorbifenylen (PCB's), die met acht congenere vertegenwoordigd waren, gevolgd door polybroomdifenylethers (PBDE's) met vier congenere, en ten slotte organochloorpesticiden (OCP's) met twee verbindingen. De concentraties van gedetecteerde POP's waren relatief consistent binnen de gebouwencategorie en functie (figuur 2B).

van stof via emissies van kamerplanten of nabijgelegen vegetatie, alsook uitlaatgassen van wegen of industriële bronnen in de omgeving.



Figuur 4: (A) Detectiefrequentie (%) van verbindingen geïdentificeerd door non-target GC-(EI)-MS-analyse, (B) gedeconvolueerde basispiekoppervlakken van verbindingen geïdentificeerd door non-target GC-(EI)-MS-analyse. Kolommen en foutbalken tonen respectievelijk het gemiddelde en 95%-betrouwbaarheidsinterval, en cirkels geven individuele staalmetingen aan.

Eén polyaromatische koolwaterstofverbinding (PAK), pyreen, werd ontdekt in 22% van alle stalen, met een grotere prevalentie in campus- en sportgebouwen, respectievelijk 43 en 33%, dan in de kantoorstalen en stalen uit particuliere woningen, respectievelijk 18 en 13%. PAK's worden geproduceerd uit de onvolledige verbranding van organische brandstoffen en kunnen talrijke bronnen buitenshuis hebben, zoals uitlaatgassen van voertuigen en verbranding van kolen, olie of hout, maar ook binnenbronnen, zoals koken op gas of verwarmingsapparatuur (Romagnoli et al., 2016; Yang et al., 2022). Van PAK's, waaronder pyreen, is bekend dat ze kankerverwekkend zijn (Romagnoli et al., 2016; Yang et al., 2022).

Squaleen (C₃₀H₅₀) werd geïdentificeerd in 65% van alle stofstalen, bestaande uit 46% van de stalen uit woningen, 91% van kantoren, 71% van campusgebouwen, 100% van sporthallen en het enkele loodstaal. Squaleen is een biochemische tussenstof voor de biosynthese van sterolen, die in alle planten en dieren wordt geproduceerd, en in de talg van mensen (Pappas, 2009). Squaleen is waarschijnlijk aanwezig in huisstof als gevolg van exfoliatie van de bewoners.

Evenals bij de alkanen bleek uit de ANOVA-analyse dat er geen significante verschillen zijn tussen de basispiekoppervlakten.

butyl-4-hydroxy-m-tolyl)propionaat]								
Fipronil	C ₁₂ H ₄ Cl ₂ F ₆ N ₄ O	-	26.1 (2) 34.8 (4)	60.9	Fungicide	na	na	na

Ten slotte werd een CL van 3 toegekend als het verkregen fragmentatiespectrum aanvullende aanwijzingen gaf voor de toewijzing van een verbinding, maar er geen referentiestandaarden en geen bibliotheekspectra beschikbaar waren. Dit is de laagste CL die hier wordt gepresenteerd en kan niet worden beschouwd als een ondubbelzinnige identificatie van een verbinding. Verdere studies en de aankoop van referentiestandaarden (indien beschikbaar) zijn nodig om deze bevindingen te bevestigen. Verbindingen met CL 3 en, indien van toepassing, hun semi-gekwantificeerde concentraties zijn samengevat in tabel 6.

Tabel 6: De geïdentificeerde verbindingen, met betrouwbaarheidsniveau (CL) 3, bij de algemene screening van opkomende verontreinigingen met LC-HRMS. Met PH's; ftalaaten, APs; alternatieve weekmakers, PFR's; organofosfaatvlamvertragers, AOX; synthetische antioxidanten, PCP's; producten voor persoonlijke verzorging. Voor de in positieve polariteit geïdentificeerde verbindingen in de ethylacetaatfractie worden de minimale, maximale en mediane semi-gekwantificeerde concentraties gegeven. De mediaan is berekend op basis van de lower bound approach, waarbij een concentratie die overeenkomt met nul is toegekend indien een verbinding niet werd gedetecteerd. De gerapporteerde minimumconcentratie staat voor de laagste gekwantificeerde concentraties (dus exclusief stalen waarin de verbinding niet werd gedetecteerd).

Stofnaam	Formule	Polariteit	DF (CL)[%]	Totale DF [%]	Stofklasse	Min [µg/g]	Max [µg/g]	Mediaan [µg/g]
Vinyl methyl adipaat	C ₉ H ₁₄ O ₄	+	10.9 (3) 10.9 (4)	21.7	Adipaat (APs)	na	na	na
Vinyl hydrogen adipaat	C ₈ H ₁₂ O ₄	+	6.5 (3) 10.9 (4)	17.4	Adipaat (APs)	na	na	na
diethyltoluamide (DEET)	C ₁₂ H ₁₇ NO	+	23.9 (3) 54.3 (4)	78.2	PCPs	na	na	na
Diheptyl ftalaat	C ₂₂ H ₃₄ O ₄	+	87.0 (3) 2.2 (4)	89.2	PHs	0.64	50.43	4.39
Diundecyl ftalaat	C ₃₀ H ₅₀ O ₄	+	30.4 (3) 15.2 (4)	45.7	PHs	0.45	122.16	0.00
Undecyl didecyl ftalaat	C ₃₁ H ₅₂ O ₄	+	4.3 (3)	4.3	PHs	6.36	30.67	0.00
Decyl nonyl ftalaat	C ₂₇ H ₄₄ O ₄	+	76.1 (3) 17.4 (4)	93.5	PHs	2.45	645.49	18.24
Decyl undecyl ftalaat	C ₂₉ H ₄₈ O ₄	+	41.3 (3) 37.0 (4)	82.6	PHs	1.65	477.77	7.60
Nonyl undecyl adipaat	C ₂₆ H ₅₀ O ₄	+	6.5 (3) 87 (4)	93.5	Adipaat (Aps)	na	na	na
N-(2-ethoxyfenyl)-N-(2-ethylfenyl) Oxamide	C ₁₈ H ₂₀ N ₂ O ₃	+	10.9 (3) 21.7 (4)	32.6	UV filters	0.02	1.23	0.00
N-(2-hydroxyethyl) octadecanamide	C ₂₀ H ₄₁ NO ₂	+	95.7 (3) 4.3 (4)	100	PCPs/ CPS	na	na	na
Tridecylfosfaat	C ₃₀ H ₆₃ O ₄ P	+	2.2 (3)	2.2	PFRs	51.34	51.34	0.00
didecyl butoxyethoxy-ethyl fosfaat (DDeBEEP)*	C ₂₈ H ₅₉ O ₆ P	+	2.2 (3) 2.2 (4)	4.4	PFRs	1.27	39.09	0.00

Tabel 7: Verkregen p-waarden voor de vergelijking van semi-kwantitatieve concentraties voor CEC's met een DF > 50%. De statistische analyse is uitgevoerd zoals beschreven in punt 3.1.7. P-waarden die wijzen op een significant verschil (< 0,05) zijn groen gemarkeerd.

Klasse	Stof	Type particulier of publiek	Locatie Landelijk of stedelijk	Leeftijd < 20y vs. > 20y	Laatste reiniging < 5d vs. > 5d
Adipaat	DEHA	< 0.001	< 0.001	0.345	0.901
AOX	N-1,3-dimethylbutyl-N-fenyl-p-fenylenediamine	0.004	0.519	0.771	0.927
Citraten	ATBC	0.001	0.125	0.748	0.736
Fungicide	propiconazole	0.003	0.982	0.306	< 0.001
Other	dibenzylamine	0.004	0.020	0.326	1.000
Other	Triethylene glycol bis(2-ethylhexanoaat)	< 0.001	0.487	0.610	0.632
PCP	propane-1,2-diyl dibenzoaat	0.001	0.334	0.219	0.702
PFRs	Tributyfosfaat	0.388	0.009	0.284	0.893
	BDP	0.087	0.063	0.306	0.125
	TPTP	0.494	0.683	0.047	0.320
	TEHP	0.860	0.529	0.206	0.512
	TCEP	0.895	0.008	0.092	0.709
	CDPHP	0.111	0.140	0.688	0.210
	BDTPDP	0.035	0.051	0.219	0.020
	RDP	0.027	0.106	0.835	0.293
	TCPP	0.636	0.251	0.865	0.045
	EHDPHP	0.007	< 0.001	0.162	0.523
	TBOEP	0.024	0.343	0.637	0.901
	TPP	0.003	0.031	0.806	0.221
Ftalaten	Decyl undecyl ftalaat	< 0.001	0.255	0.115	0.631
	Diheptyl ftalaat	0.004	0.001	0.865	0.790
	DEHP	0.077	0.145	0.65	0.972
	Decyl nonyl ftalaat	0.006	0.559	0.375	0.123
	Didecyl ftalaat	< 0.001	0.056	0.336	0.385
	Dinonylftalaat	< 0.001	0.018	0.558	0.559
Trimellitaten	TOTM	0.008	0.022	0.664	0.901

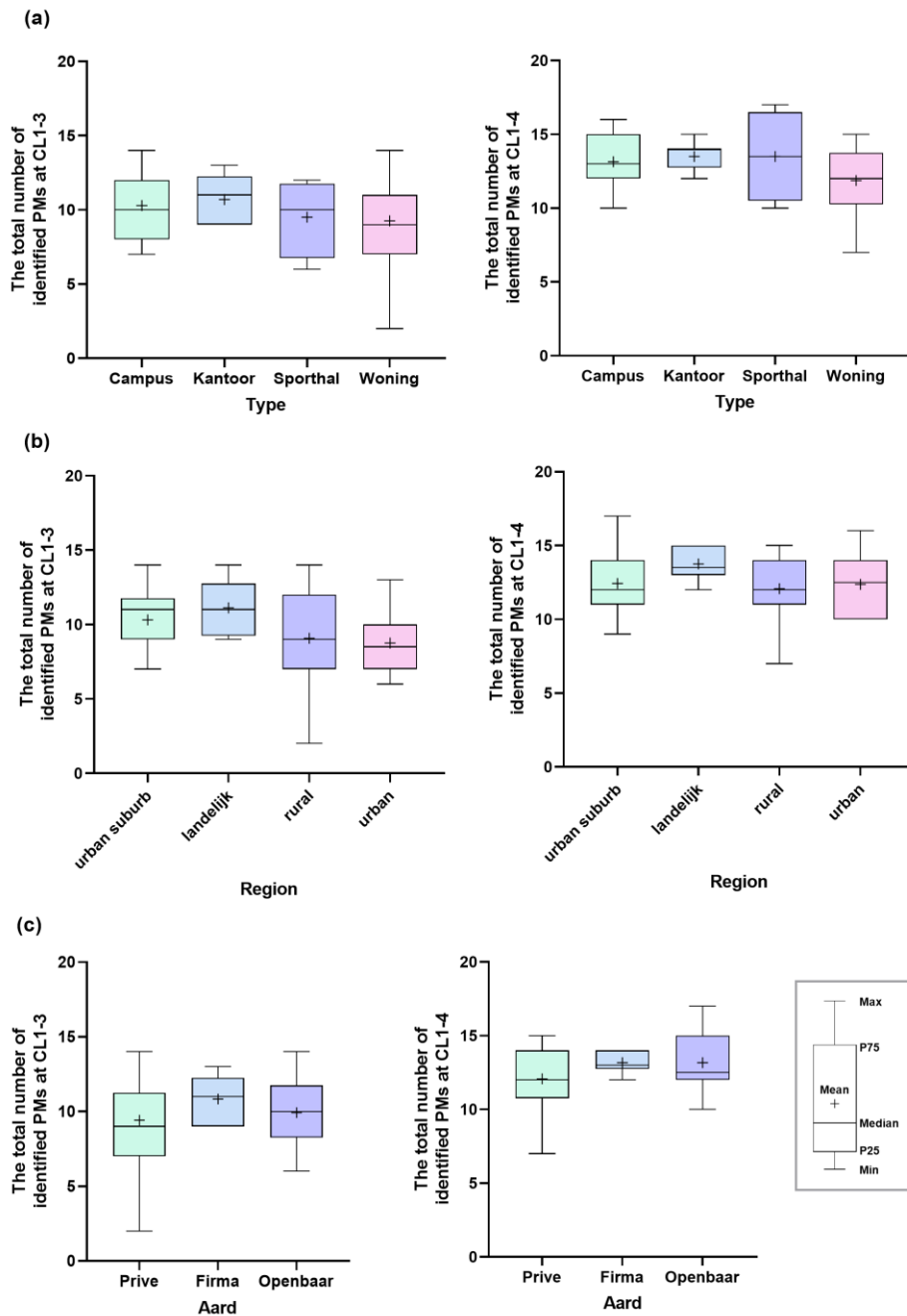
3.2.3 Per- en polyfluoroalkyl substanties (PFAS) met LC-HRMS

PFAS zijn een synthetische groep chemicaliën die veel aandacht hebben gekregen vanwege hun sterke persistentie en potentiële toxiciteit. PFAS worden sinds 1940, gebruikt in tal van industriële en consumentenproducten zoals oppervlakte actieve stoffen, waterig filmvormend schuim (AFFF), voedselverpakking en textiel (Li et al., 2020; Zheng et al., 2021). De meest representatieve chemische stoffen, PFOS, PFOA en de zouten daarvan, werden in het kader van het Verdrag van Stockholm aangemerkt als persistente organische verontreinigende stoffen (POP's) vanwege hun persistentie, transporteerbaarheid op lange termijn, vermogen tot bioaccumulatie en toxiciteit. De verordening inzake PFOS en PFOA heeft geleid tot de invoering van vervangende chemische stoffen, zoals PFAS met een kortere keten ($\leq C_4$) en/of fluoetherchemicaliën (d.w.z. ammoniumzout van hexafluorpropyleendimeerzuur; Gen-X, dodecafluor-3H-4,8-dioxananoaat; ADONA, en natrium p-perfluorous nonenoxybenzeensulfonaat; OBS) met de verwachting een hogere afbreekbaarheid en minder persistentie te bekomen. Er is echter geconstateerd dat deze vervangers vergelijkbare bioaccumulatie-eigenschappen en toxiciteit hebben als PFOS en PFOA. Tot nu toe zijn meer dan

C20-ATMAC	C ₂₃ H ₅₀ N	34.8 (1) 50 (2C)	84.8	0.05	2.94	0.18
C22-ATMAC	C ₂₅ H ₅₄ N	95.7 (1) 4.3 (2C)	100	0.06	7.28	1.45
C6-BAC	C ₁₅ H ₂₆ N	4.3 (2C)	4.3	0.01	0.06	0.00
C8-BAC	C ₁₇ H ₃₀ N	19.6 (2C)	19.6	0.003	0.06	0.00
C10-BAC	C ₁₉ H ₃₄ N	23.9 (1) 69.6 (2C)	93.5	0.002	2.54	0.01
C12-BAC	C ₂₁ H ₃₈ N	100 (2C)	100	0.54	28.41	2.99
C14-BAC	C ₂₃ H ₄₂ N	95.7 (1) 4.3 (2C)	100	0.26	20.44	1.64
C16-BAC	C ₂₅ H ₄₆ N	63.0 (1) 37.0 (2C)	100	0.02	18.75	0.29
C18-BAC	C ₂₇ H ₅₀ N	82.6 (1) 17.4 (2C)	100	0.06	13.61	0.44
C8:C8-DDAC	C ₁₈ H ₄₀ N	21.7 (1) 63.0 (2C)	84.7	0.001	0.78	0.01
C10:C10-DDAC	C ₂₂ H ₄₈ N	100 (1)	100	0.19	9.52	1.86
C12:C12-DDAC	C ₂₆ H ₅₆ N	97.8 (2C)	97.8	0.002	0.07	0.01
C14:C14-DDAC	C ₃₀ H ₆₄ N	6.5 (1) 93.5 (2C)	100	0.003	0.14	0.02
C16:C16-DDAC	C ₃₄ H ₇₂ N	100 (1)	100	0.10	20.60	0.97
C18:C18-DDAC	C ₃₈ H ₈₀ N	97.8 (1)	97.8	0.18	32.23	1.12
Suspect screening resultaten						
Naam	Formule	DF (CL) CL [%]	Totale DF [%]	Min [µg/g]	Max [µg/g]	Med [µg/g]
C2:C12-DDAC	C ₁₆ H ₃₆ N	69.6 (3) 30.4 (4)	100	0.001	3.13	0.08
C2:C14-DDAC	C ₁₈ H ₄₀ N	52.2 (3) 57.8 (4)	100	0.0003	1.66	0.03
C2:C16-DDAC	C ₂₀ H ₄₄ N	15.2 (3) 19.6 (4)	34.8	0.011	2.31	0.00
C2:C18-DDAC	C ₂₂ H ₄₈ N	2.2 (3) 2.2 (4)	4.4	0.034	0.49	0.00
C10:C8-DDAC	C ₂₀ H ₄₄ N	4.3 (3) 89.1 (4)	93.4	0.006	2.57	0.02
C16:C18-DDAC	C ₃₆ H ₇₆ N	100 (3)	100	0.255	24.90	1.71
C18:C20-DDAC	C ₄₀ H ₈₄ N	4.3 (3) 95.6 (4)	100	0.001	0.67	0.01
1-Hexadecyl-pyridinium	C ₂₁ H ₃₈ N	4.3 (3) 41.3 (4)	56.5	0.002	3.48	0.00
Benzethonium	C ₂₇ H ₄₂ NO ₂	10.9 (3) 15.2 (4)	26.1	0.006	0.44	0.00
C13-BAC	C ₂₂ H ₄₀ N	2.2 (3) 32.6 (4)	52.2	0.001	0.51	0.001
C20-BAC	C ₂₉ H ₅₄ N	2.2 (3) 56.5 (4)	58.7	0.001	0.05	0.001
Choline	C ₅ H ₁₄ NO	71.7 (3) 28.3 (4)	100	0.012	0.31	0.06

Voor 15 van de 21 QAC's die met een referentiestandaard werden bevestigd, werden DF's > 90% gedetecteerd. 11 van de 21 QAC's hadden een DF's van 100% en waren dus detecteerbaar in alle geanalyseerde stofstalen. Dit wijst op een alomtegenwoordigheid van deze verbindingen in het binnenmilieu. In elk van de onderzochte QAC-klassen werden hoge DF's gedetecteerd, waaruit blijkt

Deze bevindingen wijzen erop dat de blootstelling van PM's aan stof binnenshuis wellicht niet nauw samenhangt met gebouwtype, regio en aard. Aangezien PM's in diverse toepassingen worden gebruikt, wordt een hoge detectie van PM's in industriële gebieden verzameld stof verwacht. Bijgevolg zou een verdachte screening van PM's in industriële gebieden kunnen worden toegepast en vergeleken met de huidige resultaten in verder onderzoek om significante verschillen tussen gebouwtypes en regio's te vinden.



Figuur 5: Aantal geïdentificeerde PM's bij CL1-3 en CL1-4 in stofstalen per (a) gebouwtype (campus, kantoor, sporthal en woning), (b) regio (stedelijke buitenwijk, landelijk, landelijk en stedelijk), en (c) aard (prive, firma, en openbaar).

4 EVALUATIE POTENTIËLE GEZONDHEIDSEFFECTEN EN OPMAAK STRATEGIE HBM PROGRAMMA

4.1 OVERZICHT VAN MOGELIJKE GEZONDHEIDSEFFECTEN VAN GEDETECTEERDE CHEMICALIËN

De geïdentificeerde chemicaliën onder hoofdstuk 3 zijn een mengsel van oudere, goed gekende en gekarakteriseerde componenten en nieuwe chemische verbindingen, van welke de toxicologische eigenschappen nog niet (volledig) opgehelderd zijn. Om de huidige kennis over de gezondheidseffecten samen te brengen is het toxicologisch profiel onderzocht van de chemicaliën met de hoogste detectie frequentie in deze studie (zie bijlage G). Dit werd hoofdzakelijk gedaan aan de hand van de beschikbare wetenschappelijke literatuur met daarnaast ook de toepassing van gespecialiseerde software (*in silico* models).

4.1.1 Opkomende verontreinigende stoffen

De toxicologische en gezondheidseffectbeoordeling van de weekmakers richt zich op één ftalaat met substituenten met gelijke ketenlengtes (DINP), twee nieuwe ftalaten (decylonylftalaat en decylonylftalaat) met substituenten met ongelijke ketenlengtes en twee alternatieve weekmakers (DEHA en ATBC).

De acute toxiciteitsstudies bij dieren voor DINP, dat in alle stalen werd gedetecteerd, tonen een lage toxiciteit bij inademing, via de huid en oraal. Bovendien overschreden de LD50/LC50-waarden van DINP de maximale doses die aan proefdieren kunnen worden toegediend. DINP is een licht irriterend middel voor de huid en de ogen bij proefdieren. De effecten zijn in relatief korte tijd volledig omkeerbaar. Er zijn geen aanwijzingen dat DINP bij mensen huidirritatie veroorzaakt (European Chemicals Agency). In vitro en in vivo gegevens wijzen erop dat DINP niet genotoxisch is. In de studies met herhaalde dosering bleek DINP systemische effecten te hebben op de lever en de nieren. Er is ook gesuggereerd dat DINP negatieve effecten heeft op de ontwikkeling van jongen bij ratten. In een epidemiologisch onderzoek in Zweden werd gesuggereerd dat DINP giftig kan zijn voor de voortplanting (Bornehag et al., 2015). Dit vereist meer aandacht voor de mogelijke toxiciteit voor de voortplanting.

Voor decylonylftalaat en decylundecylftalaat zijn er momenteel geen toxicologische gegevens. Zowel decylonylftalaat als decylundecylftalaat zijn opgenomen in bijlage III van de REACH-verordening omdat wordt voorspeld dat zij waarschijnlijk zullen voldoen aan de criteria voor kankerverwekkendheid van categorie 1A of 1B, mutageniteit of giftigheid voor de voortplanting, of bij verspreid of diffuus gebruik, omdat wordt voorspeld dat zij waarschijnlijk zullen voldoen aan een indelingscriterium voor gevaar voor de gezondheid of het milieu, of omdat zij een nanovorm hebben die oplosbaar is in biologische en milieumedia (European Chemicals Agency; European Chemicals Agency). In het COMPARA-model (*in silico*-model) werd voorspeld dat zij geen agonistische en/of antagonistische effecten hebben op de androgeenreceptor .

Tabel 16: Mediane EDI-waarden (mg/kg lichaamsgewicht/dag) en HQ's berekend op basis van de concentraties van semi-gekwantificeerde verbindingen in de binnenstofstalen die zijn verzameld in particuliere woningen (H) en openbare gebouwen (PS) overeenkomstig met het 50e en 95e percentiel van de blootstellingsscenario's. Voor de verbindingen waarvoor geen specifieke RfD bestaat, is de referentiedosiswaarde van de kalibrant die voor de semikwantificering is gebruikt (in het rood), gekozen als de meest geschikte proxy.

Verbinding	Klas	Kalibrant	RfD mg/kg lg/dag	RfD ref.	Particuliere ruimte								Publieke ruimte			
					EDI	HQ	EDI	HQ	EDI	HQ	EDI	HQ	EDI	HQ	EDI	HQ
					H 50th p. volwassene		H 50th p. peuter		H 95th p. volwassene		H 95th p. peuter		PS 50th p. volwassene		PS 95th p. volwassene	
TBOEP	PFRs	TBOEP	5.00E-02	Volkel Et al., 2017	3.14 E-07	6.28 E-06	6.03 E-06	1.21 E-04	9.41 E-07	1.88 E-05	1.21 E-05	2.41 E-04	1.80 E-07	3.61 E-06	5.41 E-07	1.08 E-05
EHDPHP	PFRs	EHDPHP	1.50E-02	Poma et al. 2018	5.29 E-08	3.53 E-06	1.02 E-06	6.78 E-05	1.59 E-07	1.06 E-05	2.04 E-06	1.36 E-04	2.54 E-08	1.69 E-06	7.61 E-08	5.07 E-06
TPHP	PFRs	TPHP	2.00E-02		6.27 E-09	3.13 E-07	1.21 E-07	6.03 E-06	1.88 E-08	9.40 E-07	2.41 E-07	1.21 E-05	2.31 E-09	1.15 E-07	6.92 E-09	3.46 E-07
Tributylfosfaat	PFRs	TIBP	1.00E-02	USEPA RSL for ChemContam at Superfund Sites	-	-	-	-	-	-	-	-	2.28 E-09	2.28 E-07	6.84 E-09	6.84 E-07
[4-[2-(4-difenoxy-fosforyl-oxyfenyl) propan-2-yl]fenyl] difenyl fosfaat	PFRs	BDP	NA		1.28 E-08	-	2.45 E-07	-	3.83 E-08	-	4.91 E-07	-	6.37 E-09	-	1.91E-08	-
TPTP	PFRs	TPTP	2.00E-02	USEPA (2017)	1.12 E-08	5.60 E-07	2.15 E-07	1.08 E-05	3.36 E-08	1.68 E-06	4.30 E-07	2.15 E-05	6.24 E-09	3.12 E-07	1.87 E-08	9.36 E-07
RDP	PFRs	RDP	NA		7.77 E-09	-	1.49 E-07	-	2.33 E-08	-	2.99 E-07	-	4.52 E-09	-	1.35 E-08	-
TPHP	PFRs	TPHP	2.00E-02	USEPA (2017)	5.18 E-08	2.59 E-06	9.95 E-07	4.98 E-05	1.55 E-07	7.76 E-06	1.99 E-06	9.95 E-05	3.57 E-08	1.79 E-06	1.07 E-07	5.36 E-06
TCIPP	PFRs	TCPP	1.00E-02	USEPA (2017)	2.38 E-07	2.38 E-05	4.58 E-06	4.58 E-04	7.14 E-07	7.14 E-05	9.15 E-06	9.15 E-04	1.01 E-07	1.01 E-05	3.02 E-07	3.02 E-05
TEHP	PFRs	TEHP	1.00E-01	USEPA (2017)	7.80 E-08	7.80 E-07	1.50 E-06	1.50 E-05	2.34 E-07	2.34 E-06	3.00 E-06	3.00 E-05	2.09 E-08	2.09 E-07	6.26 E-08	6.26 E-07
TDCIPP	PFRs	TDCIPP	1.50E-03	Ali et al., 2012	-	-	-	-	-	-	-	-	-	-	-	-
TCEP	PFRs	TCEP	2.20E-02	Ali et al., 2012	1.97 E-08	8.96 E-07	3.79 E-07	1.72 E-05	5.91 E-08	2.69 E-06	7.58 E-07	3.45 E-05	5.66 E-09	2.57 E-07	1.70 E-08	7.71 E-07
BBEBP	Novel PFR	TBOEP	5.00E-02		-	-	-	-	-	-	-	-	1.09 E-09	2.17 E-08	3.26 E-09	6.52 E-08

BDTDPD	Novel PFR	TPHP	2.00E-02		1.91 E-08	9.57 E-07	3.68 E-07	1.84 E-05	5.74 E-08	2.87 E-06	7.36 E-07	3.68 E-05	1.04 E-08	5.22 E-07	3.13 E-08	1.57 E-06
DEHP	PHs	DEHP	2.00E-02	USEPA (2017)	4.21 E-06	2.10 E-04	8.10 E-05	4.05 E-03	1.26 E-05	6.31 E-04	1.62 E-04	8.10 E-03	1.56 E-06	7.82 E-05	4.69 E-06	2.35 E-04
Didecyl ftalaat	PHs	DIDP	NA		1.49 E-06	-	2.86 E-05	-	4.46 E-06	-	5.71 E-05	-	9.20 E-07	-	2.76 E-06	-
Diheptyl ftalaat	PHs	DEHP	2.00E-02		3.48 E-07	1.74 E-05	6.70 E-06	3.35 E-04	1.04 E-06	5.22 E-05	1.34 E-05	6.70 E-04	2.93 E-07	1.46 E-05	8.79 E-07	4.39 E-05
Diundecyl ftalaat	PHs	DEHP	2.00E-02		-	-	-	-	-	-	-	-	2.87 E-07	1.43 E-05	8.60 E-07	4.30 E-05
DINP	PHs	DEHP	1.50E-01		9.73 E-06	6.48 E-05	1.87 E-04	1.25 E-03	2.92 E-05	1.95 E-04	3.74 E-04	2.49 E-03	8.10 E-06	5.40 E-05	2.43 E-05	1.62 E-04
Decyl nonyl ftalaat	Novel PH	DEHP	2.00E-02		2.54 E-06	1.27 E-04	4.89 E-05	2.44 E-03	7.62 E-06	3.81 E-04	9.77 E-05	4.89 E-03	1.78 E-06	8.88 E-05	5.33 E-06	2.66 E-04
Decyl undecyl ftalaat	Novel PH	DEHP	2.00E-02		9.48 E-07	4.74 E-05	1.82E-05	9.11 E-04	2.84 E-06	1.42 E-04	3.65 E-05	1.82 E-03	7.13 E-07	3.57 E-05	2.14 E-06	1.07 E-04
DEHA	AP	DEHP	6.00E-01	USEPA (1992)	6.54 E-07	1.09 E-06	1.26E-05	2.10 E-05	1.96 E-06	3.27 E-06	2.51 E-05	4.19 E-05	2.16 E-06	3.59 E-06	6.47 E-06	1.08 E-05
ATBC	AP	TIBP	2.00E-01	Christia et al., 2019	1.11 E-06	5.54 E-06	2.13E-05	1.07 E-04	3.32 E-06	1.66 E-05	4.26 E-05	2.13 E-04	4.89 E-07	2.45 E-06	1.47 E-06	7.34 E-06
tris(2-ethylhexyl) benzene-1,2,4-tricarboxylaat	AP	TOTM	2.25E-01	Christia et al., 2019	4.07 E-07	1.81 E-06	7.83E-06	3.48 E-05	1.22 E-06	5.43 E-06	1.57 E-05	6.96 E-05	2.14 E-07	9.53 E-07	6.43 E-07	2.86 E-06
propane-1,2-diyl dibenzoaat	PCP	DPHP	NA		-	-	-	-	-	-	-	-	2.85 E-08	-	8.56 E-08	-
2-tert-butyl-6-(5-chloro-2H-benzotriazol-2-yl)-4-methylfenol	PCP	TBuPHP	NA		-	-	-	-	-	-	-	-	5.56 E-10	-	1.67 E-09	-
N-1,3-dimethylbutyl-N-fenyl-p-fenylenediamine	AOX	TEP	NA		2.98 E-08	-	5.74E-07	-	8.95 E-08	-	1.15 E-06	-	3.91 E-08	-	1.17 E-07	-
propiconazole	Fungicide	TDCPP	1.50E-02	Christia et al., 2018	1.26 E-07	8.39 E-06	2.42E-06	1.61E-04	3.77 E-07	2.52 E-05	4.84 E-06	3.23 E-04	1.15 E-08	7.65 E-07	3.44 E-08	2.29 E-06
Avobenzone	UV protector	TPHP	2.00E-02		-	-	-	-	-	-	-	-	3.09 E-09	1.54 E-07	9.26 E-09	4.63 E-07
Triethylene glycol bis(2-ethylhexanoaat)	Other	DEHP	2.00E-02		3.37 E-07	1.68 E-05	6.47 E-06	3.24E-04	1.01 E-06	5.05 E-05	1.29 E-05	6.47 E-04	6.72 E-07	3.36 E-05	2.02 E-06	1.01 E-04
dibenzylamine	Other	TEP	NA		5.74 E-08	-	1.10 E-06	-	1.72 E-07	-	2.21 E-06	-	3.09 E-08	-	9.28 E-08	-

4.2.3 Quaternaire ammonium componenten (QACs)

De EDI-waarden voor QAC's werden berekend op basis van de mediane semigekwantificeerde concentraties voor de drie hoofdgroepen (ATMAC's, BAC's en DDAC's). Deze semigekwantificeerde concentraties van stofstalen uit de binnenomgeving die zijn verzameld in woningen en openbare gebouwen, worden gerapporteerd in tabel 17. De gebruikte referentiewaarden zijn vastgesteld door de Europese Autoriteit voor voedselveiligheid (EFSA), die een aanvaardbare dagelijkse inname (Acceptabel Daily Intake, ADI) van 0,1 mg/kg lichaamsgewicht/dag heeft vastgesteld voor zowel DDAC's als BAC's (European Food Safety, 2014). Deze ADI-waarde werd in dit rapport uitgebreid naar de ATMAC-groep en gebruikt als een geschikte proxy voor EDI-berekeningen. De berekende EDI's varieerden van 0,24E-07 tot 3,96E-05 mg/lg/d, en zijn lager dan die berekend in binnenstofstalen die voor en tijdens de COVID-19 pandemie in de VS waren verzameld (tot 6,15^E-04 mg/lg/d) (Zheng et al., 2020). De HQ's varieerden tussen 2,24E-06 en 3,96E-04, waarbij de hoogste waarden werden vastgesteld voor peuters in het worst-case blootstellingsscenario.

Ook in dit geval suggereren deze resultaten dat de blootstelling van de doelgroep aan QAC's lager is dan de risicodrempel en er geen nadelige gezondheidseffecten zou moeten ondervonden worden door stofinname.

Tabel 17: EDI-waarden (mg/kg lg/dag) en HQ's berekend op basis van de mediane concentraties van semigekwantificeerde QAC's in de binnenstofstalen verzameld in particuliere woningen (H) en openbare gebouwen (PS) volgens de 50e en 95e percentiel blootstellingsscenario's. De ADI-waarden (mg/kg lichaamsgewicht/dag) uit EFSA, 2014. In het rood de proxy ADI voor de ATMAC-groep.

Verbinding	ADI	EDI	HQ	EDI	HQ	EDI	HQ	EDI	HQ	EDI	HQ	EDI	HQ
	mg/kg lg/dag	H 50th p. volwassene	H 50th p. peuter	H 50th p. volwassene	H 50th p. peuter	H 95th p. volwassene	H 95th p. peuter	H 95th p. volwassene	H 95th p. peuter	PS 50th p. volwassene	PS 50th p. peuter	PS 95th p. volwassene	PS 95th p. peuter
SumATMAC	1.00	9.53	9.53	1.83	1.83	2.86	2.86	3.66	3.66	2.33	2.33	7.00	7.00
	E-01	E-07	E-06	E-05	E-04	E-06	E-05	E-05	E-04	E-07	E-06	E-07	E-06
SumBAC	1.00	1.03	1.03	1.98	1.98	3.09	3.09	3.96	3.96	3.00	3.00	8.99	8.99
	E-01	E-06	E-05	E-05	E-04	E-06	E-05	E-05	E-04	E-07	E-06	E-07	E-06
SumDDAC	1.00	7.68	7.68	1.48	1.48	2.30	2.30	2.95	2.95	2.24	2.24	6.71	6.71
	E-01	E-07	E-06	E-05	E-04	E-06	E-05	E-05	E-04	E-07	E-06	E-07	E-06

4.3 VOORSTEL VOOR HBM-PROGRAMMA

Op basis van alle resultaten in dit verslag kunnen wij aanbevelingen doen voor toekomstige campagnes voor humane biomonitoring. Naast de algemene aanbevelingen voor humane biomonitoring, zullen de meest nieuwe chemische stoffen die in deze studie zijn geïdentificeerd, in detail worden besproken. Deze chemische verbindingen staan opgelijst onder bijlage G en werden geselecteerd omdat er voor hun momenteel geen biomonitoringstrategie bestaat.

4.3.1 Opkomende chemicaliën (CECs)

PFR's hebben een korte halfwaardetijd in het lichaam. In dierstudies varieerden de halfwaardetijden van 0,7 uur voor TCEP tot >100 uur voor TPHP (Hou et al., 2016). Vanwege deze korte halfwaardetijden is er een voorkeur voor urine (1mL) als matrix voor humane biomonitoring. Bovendien kan urine als matrix gemakkelijk en in grote volumes worden verzameld. Naast de korte halfwaardetijd van PFR's

groep deeltjes is waarschijnlijk de toepassing van zowel GC-MS/MS als LC-MS/MS nodig, alsmede het gebruik van zowel urine als plasma als biomonitoringmatrix.



ammoniumverbindingen (BAC's) en (3) dialkyldimethyl ammoniumverbindingen (DDAC's)). Alle 21 QAC's waarvoor referentiestandaarden beschikbaar waren, werden in minstens één van de stofstalen gedetecteerd. Daarbij vertoonden 15 QAC's DF's > 90%, waarbij C12-BAC, C14-BAC en C10:C10-DDAC de hoogste mediane concentraties hadden.

Naast de 21 QAC-standaarden werden nog eens 12 QAC's geïdentificeerd. Daarbij werd C16:C18-dialkyldimethylammonium geïdentificeerd als een QAC met een hoge abundantie die vergelijkbaar is met de abundanties die werden waargenomen voor de dialkyldimethylammoniumverbindingen waarvoor een referentiestandaard beschikbaar was.

PM's

In deze studie werden 15 PM's geïdentificeerd, waaronder antioxidanten, PFAS met ultrakorte ketens, kunstmatige zoetstoffen, enz. Voor zover wij weten, zijn er slechts beperkte studies van de in deze studie geïdentificeerde PM's op stof uitgevoerd. Er werden echter verscheidene PM's met een hoge DF geïdentificeerd. Als zodanig vereisen deze PM's verder onderzoek naar het lot, het voorkomen en de toxiciteit in het milieu om het huidige vermoeden van blootstelling te bevestigen en een toekomstige biomonitoringstrategie voor deze stoffen te ontwikkelen.

- U.S. EPA. (2017). Exposure Factors Handbook Chapter 5 (Update): Soil and Dust Ingestion. U.S. EPA Office of Research and Development, Washington, DC, EPA/600/R-17/384F
- U.S. EPA. (2023). Regional Screening Levels (RSLs) - Generic Tables. <https://www.epa.gov/risk/regional-screening-levels-rsls-generic-tables>
- UBA. (2019). REACH: Improvement of guidance and methods for the identification and assessment of PM/PMT substances.
- United States Environmental Protection Agency. List N Advanced Search Page: Disinfectants for Coronavirus (COVID-19) (<https://www.epa.gov/coronavirus/about-list-n-disinfectants-coronavirus-covid-19-0>); accessed on 15/02/2023).
- van der Kallen, C. C., Gosselin, M., & Zagury, G. J. (2020). Oral and inhalation bioaccessibility of metal(loid)s in chromated copper arsenate (CCA)-contaminated soils: Assessment of particle size influence. *Sci Total Environ*, 734, 139412. <https://doi.org/10.1016/j.scitotenv.2020.139412>
- van der Veen, I., & de Boer, J. (2012). Phosphorus flame retardants: properties, production, environmental occurrence, toxicity and analysis. *Chemosphere*, 88(10), 1119-1153. <https://doi.org/10.1016/j.chemosphere.2012.03.067>
- Völkel, W., Fuchs, V., Wöckner, M., & Fromme, H. (2018). Toxicokinetic of tris(2-butoxyethyl) phosphate (TBOEP) in humans following single oral administration. *Archives of Toxicology*, 92(2), 651-660. <https://doi.org/10.1007/s00204-017-2078-7>
- Wang, L., Jia, Y., Kang, Q., Song, W., & Hu, J. (2020). Nontarget Discovery of 11 Aryl Organophosphate Triesters in House Dust Using High-Resolution Mass Spectrometry. *Environmental Science & Technology*, 54(18), 11376-11385. <https://doi.org/10.1021/acs.est.0c01970>
- Wang, X., Zhu, Q., Yan, X., Wang, Y., Liao, C., & Jiang, G. (2020). A review of organophosphate flame retardants and plasticizers in the environment: Analysis, occurrence and risk assessment. *Science of The Total Environment*, 731, 139071. <https://doi.org/10.1016/j.scitotenv.2020.139071>
- Wu, Y., & Venier, M. (2023). High levels of synthetic antioxidants and ultraviolet filters in children's car seats. *Sci Total Environ*, 855, 158637. <https://doi.org/10.1016/j.scitotenv.2022.158637>
- Yang, J., Ching, Y. C., Kadokami, K., Ching, K. Y., Xu, S., Hu, G., & Wang, J. (2022). Distribution and health risks of organic micropollutants from home dusts in Malaysia. *Chemosphere*, 309, 136600. <https://doi.org/10.1016/j.chemosphere.2022.136600>
- Yeung, L. W., Robinson, S. J., Koschorreck, J., & Mabury, S. A. (2013). Part I. A temporal study of PFCAs and their precursors in human plasma from two German cities 1982-2009. *Environ Sci Technol*, 47(8), 3865-3874. <https://doi.org/10.1021/es303716k>
- Zahn, D., Mucha, P., Zilles, V., Touffet, A., Gallard, H., Knepper, T. P., & Fromel, T. (2019). Identification of potentially mobile and persistent transformation products of REACH-registered chemicals and their occurrence in surface waters. *Water Res*, 150, 86-96. <https://doi.org/10.1016/j.watres.2018.11.042>
- Zheng, G., Filippelli, G. M., & Salamova, A. (2020). Increased Indoor Exposure to Commonly Used Disinfectants during the COVID-19 Pandemic. *Environmental Science & Technology Letters*, 7(10), 760-765. <https://doi.org/10.1021/acs.estlett.0c00587>
- Zheng, G., Schreder, E., Dempsey, J. C., Uding, N., Chu, V., Andres, G., Sathyanarayana, S., & Salamova, A. (2021). Per- and Polyfluoroalkyl Substances (PFAS) in Breast Milk: Concerning Trends for Current-Use PFAS. *Environ Sci Technol*, 55(11), 7510-7520. <https://doi.org/10.1021/acs.est.0c06978>
- Zhu, Q., Jia, J., Zhang, K., Zhang, H., Liao, C., & Jiang, G. (2019). Phthalate esters in indoor dust from several regions, China and their implications for human exposure. *Science of The Total Environment*, 652, 1187-1194. <https://doi.org/10.1016/j.scitotenv.2018.10.326>

8.2 BIJLAGE B



Beste deelnemer aan het onderzoek,

Onlangs nam u deel aan een eerste verkennend onderzoek naar het voorkomen van ongezonde stoffen in het binnenmilieu. Met dit onderzoek wilde de Vlaamse Overheid Departement Omgeving met behulp van non-target screening nagaan welke chemische verbindingen in het stof aanwezig kunnen zijn. Bij herhaling van dit onderzoek op langere termijn, kan op basis hiervan, vroegtijdig inzichten worden bekomen over de potentiële gezondheidseffecten van deze verbindingen.

We zijn jullie erg dankbaar voor jullie medewerking!

Er werd een staalname uitgevoerd op 40 adressen, waaronder bij u thuis of in een gebouw onder uw beheer.

Een samenvatting van alle resultaten van het onderzoek kan je nalezen op de website xx en een kort overzicht van de algemene resultaten is verder in deze brief weergegeven. Uiteraard behandelen het Departement Omgeving en haar onderzoekspartners alle resultaten strikt vertrouwelijk.

Indien je daarna nog meer details wil, kan je het wetenschappelijke rapport inkijken op de website xxx

Hebt u nog vragen na het lezen van deze brief en de informatie over de studie, neem dan contact op met XXX.

Hartelijk bedankt voor uw medewerking.

Met vriendelijke groeten,
Het projectteam



www.omgevingvlaanderen.be

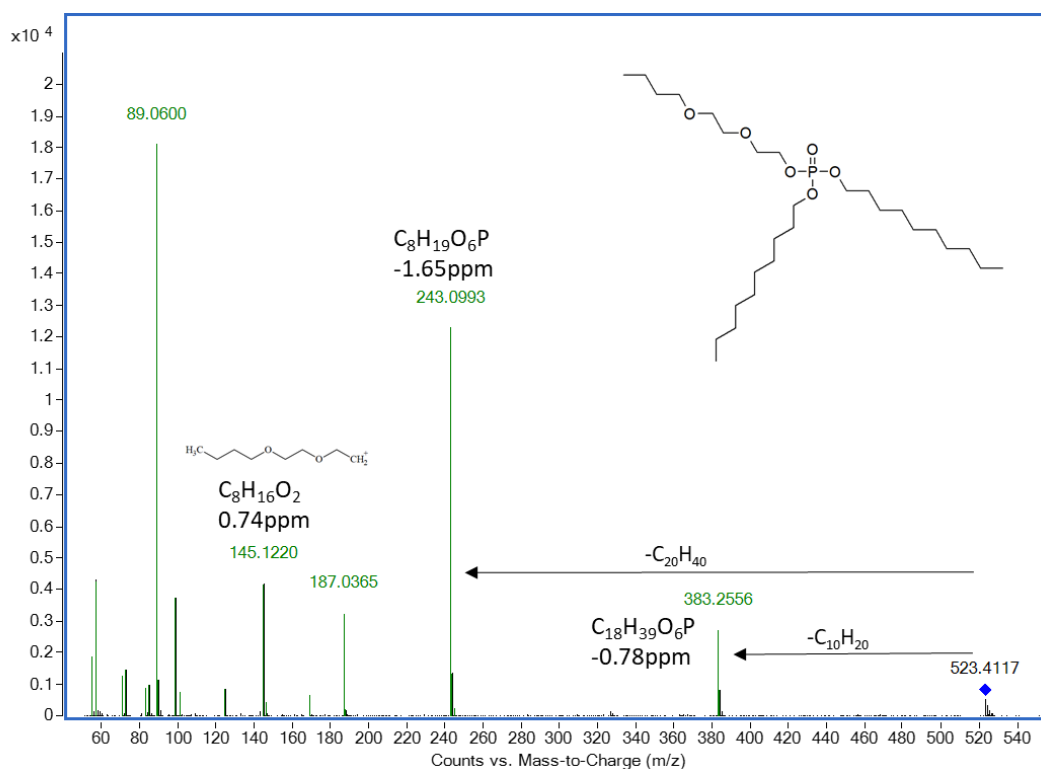


Overzicht van de algemene resultaten weergegeven als top 5 componenten

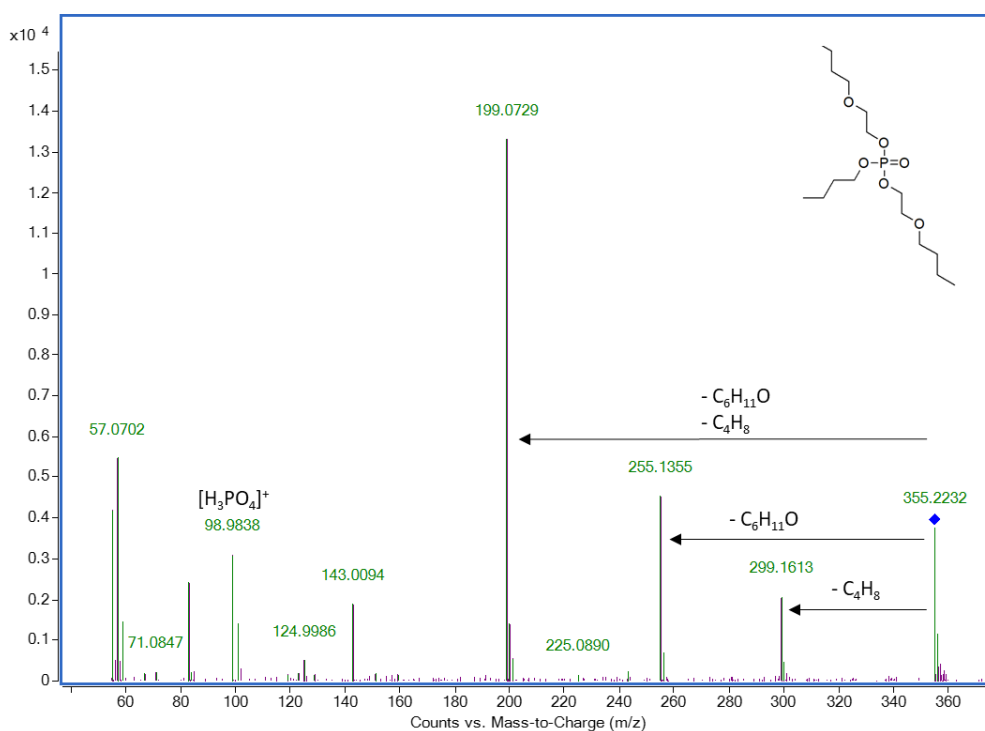
Het volgende overzicht geeft een algemene samenvatting van de vijf meest voorkomende verbindingen die werden gedetecteerd in de stofmonsters binnenshuis. Al deze verbindingen werden gedetecteerd in > 97% van de monsters. Op basis van de gegevens worden er geen nadelige gezondheidseffecten van de mogelijke blootstelling verwacht aan deze chemische stoffen.

Component	Functie
Dinonyl ftalaat	Weekmaker
Didecyl ftalaat	Weekmaker
Di(2-ethylhexyl) ftalaat	Weekmaker
Di(2-ethylhexyl) adipaat	Alternatieve weekmaker
tris(2-butoxyethyl) fosfaat	Vlamvertrager

8.3 BIJLAGE C



Figuur B.1: Experimenteel fragmentatiespectrum en voorgestelde structuur van een nieuwe organofosfaat-vlamvertrager met de naam didodecylbutoxyethoxyethylfosfaat (DDeBEEP). Voor de karakteristieke fragmenten (gebruikt voor het structuurvoorstel) is het bijbehorende neutrale verlies of de formule aangegeven.



Figuur B.2: Experimenteel fragmentatiespectrum en voorgestelde structuur van een nieuwe organofosfaat-vlamvertrager met de naam bis(2-butoxyethyl)butylfosfaat (BBEFP). Voor de karakteristieke fragmenten (gebruikt voor het structuurvoorstel) is het bijbehorende neutrale verlies of de formule aangegeven.

8.4 BIJLAGE D

Tabel B1: 2-zijdige p-waarden, gemiddelde waarden en 25e, 50e en 75e percentielen voor de statistische vergelijkingen tussen woningtypes (particuliere woningen vs. openbare gebouwen) van semi-gekwantificeerde concentraties die zijn verkregen bij de algemene screening van CECs.

Klasse	Stof	2-zijdige p-waarde	Gebouw type	Gemiddelde rang	Percentiel			N
					25	50	75	
Adipaat	Di(2-ethylhexyl) adipaat	0.077	Publiek	27.16	20.94	30.41	55.25	22
			Particulier	20.15	11.29	21.35	33.03	24
AOX	N-1,3-dimethyl-butyl-N-fenyl-p-fenylenediamine	0.004	Publiek	29.34	0.00	0.77	1.09	22
			Particulier	18.15	0.00	0.15	0.31	24
Citraat	Acetyltributyl citraat	0.001	Publiek	30.09	6.83	9.52	13.09	22
			Particulier	17.46	2.76	5.62	8.30	24
Fungicide	Propiconazole	0.003	Publiek	17.41	0.00	0.23	0.54	22
			Particulier	29.08	0.27	0.64	2.86	24
Andere	Dibenzylamine	0.004	Publiek	29.41	0.33	0.60	1.02	22
			Particulier	18.08	0.15	0.30	0.44	24
Andere	Triethylene glycol bis(2-ethylhexanoaat)	< 0.001	Publiek	30.36	2.24	13.07	20.74	22
			Particulier	17.21	0.57	1.71	3.78	24
PCP	Propane-1,2-diyl dibenzoaat	0.001	Publiek	29.82	0.00	0.56	1.99	22
			Particulier	17.71	0.00	0.00	0.07	24
PFRs	Tributylfosfaat	0.388	Publiek	25.18	0.00	0.05	0.16	22
			Particulier	21.96	0.00	0.00	0.09	24
	[4-[2-(4-difenoxy-fosforyloxyfenyl)propan-2-yl]fenyl] difenyl fosfaat	0.087	Publiek	27.02	0.05	0.13	0.93	22
			Particulier	20.27	0.02	0.07	0.17	24
	Tri-p-tolyl fosfaat	0.494	Publiek	24.91	0.02	0.13	0.28	22
			Particulier	22.21	0.03	0.06	0.19	24
	Tris(2-ethylhexyl) fosfaat	0.860	Publiek	23.14	0.12	0.41	1.20	22
			Particulier	23.83	0.21	0.40	0.79	24
	Tris(2-chloroethyl) fosfaat (TCEP)	0.895	Publiek	23.77	0.04	0.11	0.29	22
			Particulier	23.25	0.07	0.10	0.15	24
	Difenylcresyl fosfaat	0.111	Publiek	26.77	0.03	0.05	0.12	22
			Particulier	20.50	0.01	0.03	0.07	24
	Bis(2,4-di-tert-butylfenyl)pentaerythritol difosfaat	0.035	Publiek	27.84	0.12	0.20	0.36	22
			Particulier	19.52	0.05	0.10	0.27	24
	Tetrafenyl resorcinol bis(difenylfosfaat)	0.027	Publiek	28.05	0.04	0.09	0.30	22
			Particulier	19.33	0.01	0.04	0.07	24
Tris(1-chloro-2-propyl) fosfaat	0.636	Publiek	24.48	0.68	1.96	2.51	22	
		Particulier	22.60	0.66	1.21	2.91	24	
2-Ethylhexyl difenyl fosfaat	0.007	Publiek	29.11	0.29	0.49	1.66	22	
		Particulier	18.35	0.15	0.27	0.44	24	
Tris(2-butoxyethyl) fosfaat	0.024	Publiek	28.16	1.65	3.51	7.12	22	
		Particulier	19.23	0.61	1.59	2.64	24	
	Trifenyl fosfaat	0.003	Publiek	29.61	0.34	0.70	1.64	22

Tabel B2: 2-zijdige p-waarden, gemiddelde waarden en 25e, 50e en 75e percentielen voor de statistische vergelijkingen tussen bestaanslocaties (stad vs. platteland) van semi-gekwantificeerde concentraties verkregen uit de algemene screening van verontreinigende stoffen die aanleiding geven tot bezorgdheid.

Klasse	Stof	2-zijdige p-waarde	Locatie	Gemiddelde rang	Percentiel			N
					25	50	75	
Adipaat	Di(2-ethylhexyl) adipaat	< 0.001	stedelijk	30.36	10.29	22.99	59.36	25
			landelijk	15.33	1.45	5.01	10.20	21
AOX	N-1,3-dimethyl-butyl-N-fenyl-p-fenylenediamine	0.519	stedelijk	24.64	0.00	0.29	0.79	25
			landelijk	22.14	0.00	0.17	0.82	21
Citraat	Acetyltributyl citraat	0.125	stedelijk	26.28	5.83	8.65	11.91	25
			landelijk	20.19	2.94	5.73	9.60	21
Fungi-cide	Propiconazole	0.982	stedelijk	23.46	0.00	0.49	1.13	25
			landelijk	23.55	0.18	0.36	0.90	21
Andere	Dibenzylamine	0.020	stedelijk	27.72	0.33	0.56	0.83	25
			landelijk	18.48	0.15	0.30	0.44	21
Andere	Triethylene glycol bis(2-ethylhexanoaat)	0.487	stedelijk	24.76	1.53	3.49	20.02	25
			landelijk	22.00	1.18	3.45	8.01	21
PCP	Propane-1,2-diyl dibenzoaat	0.334	stedelijk	25.14	0.00	0.07	1.18	25
			landelijk	21.55	0.00	0.00	0.25	21
Ftalate	Tributylfosfaat	0.009	stedelijk	28.00	0.00	0.07	0.21	25
			landelijk	18.14	0.00	0.00	0.05	21
	[4-[2-(4-difenoxy-fosforyloxyfenyl)propan-2-yl]fenyl] difenyl fosfaat	0.063	stedelijk	26.86	0.05	0.10	0.63	25
			landelijk	19.50	0.00	0.05	0.17	21
	Tri-p-tolyl fosfaat	0.683	stedelijk	24.24	0.02	0.12	0.23	25
			landelijk	22.62	0.03	0.06	0.20	21
	Tris(2-ethylhexyl) fosfaat	0.529	stedelijk	24.64	0.23	0.48	0.85	25
			landelijk	22.12	0.20	0.26	1.08	21
	Tris(2-chloroethyl) fosfaat (TCEP)	0.251	stedelijk	25.58	0.73	1.90	3.58	25
			landelijk	21.02	0.63	1.22	2.26	21
	Difenylcresyl fosfaat	0.140	stedelijk	26.16	0.03	0.04	0.10	25
			landelijk	20.33	0.01	0.03	0.07	21
	Bis(2,4-di-tert-butylfenyl)pentaerythritol difosfaat	0.051	stedelijk	27.04	0.09	0.17	0.41	25
			landelijk	19.29	0.04	0.12	0.21	21
	Tetrafenyl resorcinol bis(difenylfosfaat)	0.106	stedelijk	26.42	0.05	0.06	0.21	25
			landelijk	20.02	0.01	0.04	0.17	21
	Tris(1-chloro-2-propyl) fosfaat	0.251	stedelijk	25.58	0.73	1.90	3.58	25
			landelijk	21.02	0.63	1.22	2.26	21
	2-Ethylhexyl difenyl fosfaat	< 0.001	stedelijk	30.40	0.29	0.49	1.41	25
			landelijk	15.29	0.10	0.23	0.37	21
Tris(2-butoxyethyl) fosfaat	0.343	stedelijk	25.22	1.15	2.88	7.77	25	
		landelijk	21.45	0.49	2.08	5.98	21	
Trifenyl fosfaat	0.031	stedelijk	27.40	0.33	0.54	1.35	25	
		landelijk	18.86	0.14	0.21	0.70	21	
Decyl undecyl ftalaat		0.255	stedelijk	25.56	5.52	9.66	21.38	25



Tabel B3: 2-zijdige p-waarden, gemiddelde waarden en 25e, 50e en 75e percentielen voor de statistische vergelijkingen tussen de leeftijden van het bestaalde gebouw (< 20 jaar vs. > 20 jaar) van de semigekwantificeerde concentraties die zijn verkregen bij de algemene screening van verontreinigende stoffen die aanleiding geven tot bezorgdheid.

Klasse	Stof	2-zijdige p-waarde	Leeftijd	Gemiddelde rang	Percentiel			N
					25	50	75	
Adipaat	Di(2-ethylhexyl) adipaat	0.345	< 20y	17.97	2.39	7.76	22.81	17
			> 20y	14.83	1.48	5.01	21.14	15
AOX	N-1,3-dimethyl-butyl-N-fenyl-p-fenylenediamine	0.771	< 20y	16.94	0.00	0.25	0.73	17
			> 20y	16.00	0.00	0.20	0.40	15
Citraat	Acetyltributyl citraat	0.748	< 20y	16.00	2.36	6.87	8.25	17
			> 20y	17.07	1.36	5.73	13.40	15
Fungi-cide	Propiconazole	0.306	< 20y	14.91	0.24	0.36	0.56	17
			> 20y	18.30	0.16	0.70	3.25	15
Andere	Dibenzylamine	0.326	< 20y	18.03	0.16	0.42	0.82	17
			> 20y	14.77	0.17	0.29	0.45	15
Andere	Triethylene glycol bis(2-ethylhexanoaat)	0.610	< 20y	17.29	0.99	2.28	4.52	17
			> 20y	15.60	0.37	1.70	6.60	15
PCP	Propane-1,2-diyl dibenzoaat	0.219	< 20y	14.76	0.00	0.00	0.11	17
			> 20y	18.47	0.00	0.06	1.26	15
Ft ala PFRs te	Tributylfosfaat	0.284	< 20y	14.94	0.00	0.00	0.07	17
			> 20y	18.27	0.00	0.05	0.13	15
	[4-[2-(4-difenoxy-fosforyloxyfenyl)propan-2-yl]fenyl] difenyl fosfaat	0.306	< 20y	14.91	0.01	0.05	0.14	17
			> 20y	18.30	0.02	0.09	0.23	15
	Tri-p-tolyl fosfaat	0.806	< 20y	16.88	0.14	0.38	0.60	17
			> 20y	16.07	0.14	0.26	0.62	15
	Tris(2-ethylhexyl) fosfaat	0.206	< 20y	14.53	0.21	0.33	0.64	17
			> 20y	18.73	0.19	0.39	2.14	15
	Tris(2-chloroethyl) fosfaat (TCEP)	0.092	< 20y	13.88	0.05	0.10	0.12	17
			> 20y	19.47	0.07	0.12	0.26	15
	Difenylcresyl fosfaat	0.688	< 20y	17.12	0.02	0.03	0.07	17
			> 20y	15.80	0.02	0.03	0.05	15
	Bis(2,4-di-tert-butylfenyl)pentaerythritol difosfaat	0.219	< 20y	18.41	0.08	0.12	0.30	17
			> 20y	14.33	0.04	0.10	0.19	15
	Tetrafenyl resorcinol bis(difenylfosfaat)	0.835	< 20y	16.82	0.01	0.04	0.18	17
			> 20y	16.13	0.01	0.06	0.13	15
	Tris(1-chloro-2-propyl) fosfaat	0.865	< 20y	16.76	0.47	1.19	3.22	17
			> 20y	16.20	0.65	1.22	2.28	15
	2-Ethylhexyl difenyl fosfaat	0.162	< 20y	18.68	0.18	0.44	0.77	17
			> 20y	14.03	0.11	0.25	0.36	15
Tris(2-butoxyethyl) fosfaat	0.637	< 20y	15.76	0.88	1.24	2.46	17	
		> 20y	17.33	0.56	2.02	9.13	15	
Trifenyl fosfaat	0.806	< 20y	16.88	0.14	0.38	0.60	17	
		> 20y	16.07	0.14	0.26	0.62	15	
Decyl undecyl ftalaat	0.115	< 20y	14.06	0.00	5.13	8.74	17	

Tabel B4: 2-zijdige p-waarden, gemiddelde waarden en 25e, 50e en 75e percentielen voor de statistische vergelijkingen tussen de verstreken tijd sinds de laatste reiniging (< 5d vs. > 5d) van de semigekwantificeerde concentraties die zijn verkregen bij de algemene screening op verontreinigende stoffen die aanleiding geven tot bezorgdheid.

Klasse	Stof	2-zijdige p-waarde	Laatste reiniging	Gemiddelde rang	Percentiel			N
					25	50	75	
Adipaat	Di(2-ethylhexyl) adipaat	0.901	< 5d	17.77	1.51	7.23	29.67	13
			> 5d	17.33	1.94	7.76	21.49	21
AOX	N-1,3-dimethyl-butyl-N-fenyl-p-fenylenediamine	0.927	< 5d	17.69	0.00	0.29	0.57	13
			> 5d	17.38	0.00	0.20	0.54	21
Citraat	Acetyltributyl citraat	0.736	< 5d	16.77	2.94	5.73	9.37	13
			> 5d	17.95	3.10	6.87	10.45	21
Fungi-cide	Propiconazole	< 0.001	< 5d	10.31	0.00	0.23	0.30	13
			> 5d	21.95	0.48	0.70	2.48	21
Andere	Dibenzylamine	1.000	< 5d	17.50	0.15	0.35	0.79	13
			> 5d	17.50	0.20	0.33	0.58	21
Andere	Triethylene glycol bis(2-ethylhexanoaat)	0.632	< 5d	18.54	1.65	2.31	4.52	13
			> 5d	16.86	0.53	1.87	6.64	21
PCP	Propane-1,2-diyl dibenzoaat	0.702	< 5d	18.27	0.00	0.00	0.49	13
			> 5d	17.02	0.00	0.00	0.16	21
Ftalate	Tributylfosfaat	0.893	< 5d	17.23	0.00	0.00	0.09	13
			> 5d	17.67	0.00	0.00	0.09	21
	[4-[2-(4-difenoxy-fosforyloxyfenyl)propan-2-yl]fenyl] difenyl fosfaat	0.125	< 5d	14.19	0.00	0.04	0.09	13
			> 5d	19.55	0.03	0.09	0.34	21
	Tri-p-tolyl fosfaat	0.320	< 5d	15.35	0.03	0.04	0.15	13
			> 5d	18.83	0.04	0.09	0.22	21
	Tris(2-ethylhexyl) fosfaat	0.512	< 5d	16.08	0.20	0.30	1.37	13
			> 5d	18.38	0.24	0.48	0.77	21
	Tris(2-chloroethyl) fosfaat (TCEP)	0.709	< 5d	16.69	0.05	0.11	0.12	13
			> 5d	18.00	0.06	0.10	0.21	21
	Difenylcresyl fosfaat	0.210	< 5d	14.81	0.02	0.03	0.05	13
			> 5d	19.17	0.03	0.04	0.08	21
	Bis(2,4-di-tert-butylfenyl)pentaerythritol difosfaat	0.020	< 5d	12.46	0.02	0.09	0.14	13
			> 5d	20.62	0.07	0.19	0.31	21
	Tetrafenyl resorcinol bis(difenylfosfaat)	0.293	< 5d	15.23	0.02	0.03	0.06	13
			> 5d	18.90	0.01	0.06	0.29	21
	Tris(1-chloro-2-propyl) fosfaat	0.045	< 5d	13.15	0.31	0.65	1.96	13
			> 5d	20.19	0.84	1.51	2.76	21
	2-Ethylhexyl difenyl fosfaat	0.523	< 5d	16.12	0.1	0.4	0.6	13
			> 5d	18.36	0.2	0.3	0.8	21
Tris(2-butoxyethyl) fosfaat	0.901	< 5d	17.23	0.80	1.24	16.30	13	
		> 5d	17.67	0.66	2.02	3.10	21	
Trifenyl fosfaat	0.221	< 5d	14.85	0.10	0.16	0.56	13	
		> 5d	19.14	0.15	0.31	0.61	21	
Ftalate	Decyl undecyl ftalaat	0.631	< 5d	16.46	0.83	5.91	45.32	13



8.5 BIJLAGE E

De no-regret maatregelen zoals gepubliceerd op vlaanderen.be :

No regret-maatregelen in een straal van 1,5 km rond 3M

Voeding

- Eet gevarieerd. Eet u zelfgekweekt voedsel? Wissel dan af met producten uit de handel. Eet ook elke dag anders. Kies zo veel mogelijk voor plantaardige en verse, onbewerkte producten.
- Was de stukken fruit en groenten met lauwwarm water voor u ze eet.
- Beperk drank uit kartonnen bekertjes en maaltijden uit voedingsverpakkingen.
- Verwarm kant-en-klare maaltijden niet in de verpakking. Haal ze uit de verpakking en leg ze op een bord om ze op te warmen.
- Eet geen zelfgeteeld kleinvee.
- Eet geen eieren van uw eigen kippen.
- Eet maximaal 1 keer om de 2 weken orgaanvlees.
- Wie kwetsbaarder is, kan beter geen zelfgeteelde groenten meer eten. Het gaat dan over ouderen, kinderen tot 12 jaar, mensen met een verzwakte immuniteit, en vrouwen die zwanger willen worden, zwanger zijn of borstvoeding geven. U mag wel borstvoeding blijven geven.

Keuken

- Gebruik bij voorkeur keukengerei in roestvrij staal of gietijzer, of antikleefpannen in keramiek of email.
- Zorg dat u de antikleeflaag van pannen niet beschadigt bijvoorbeeld door houten lepels te gebruiken en door niet té hoog te verwarmen.
- Breng oude antikleefpannen en potten naar het recyclagepark wanneer ze bekrast of beschadigd zijn.

Schoonmaakproducten en cosmetica

- Gebruik geen water- of vetafstotende spray, boenwas of smeermiddelen met PFOS/PFOA. Probeer middelen met PFC, PFTE (teflon), fluor en perfluor te vermijden. Gebruik je ze wel? Doe dat dan buiten.
- Vermijd ook cosmetica en verzorgingsproducten met PFC, PFTE (teflon), fluor en perfluor. Uitzondering: fluoride in tandpasta.
- Boende u onlangs uw parket? Verlucht die kamer en maak uw huis grondig schoon met water.

Nieuwe meubels en water- of vetafstotende spullen

- Kocht u onlangs een nieuw tapijt of nieuwe meubels? Of hebt u een meubelstuk geverfd, gelakt of vernist? Verlucht die ruimte dan meermaals per dag.
- Kocht u water- of vetafstotende kledij zoals een regenjas of paraplu? Laat die spullen dan buiten verluchten.

GFT

- Binnen de perimeter van 5 km horen eigen eieren voorlopig thuis in de huisvuilzak. Afval van eigen groenten (zonder kluit) en fruit mag wel bij het GFT-afval.
- Gebruik geen compost samengesteld met materiaal uit de eigen tuin.

Grondwater

- Gebruik uw putwater niet als drinkwater, ook niet om thee, koffie of ijsblokjes te maken of om ermee te koken. Gebruik het ook niet voor andere dingen, zoals uw auto wassen, toilet doorspoelen, oprit afspuiten, zwembad vullen en planten water geven.



8.6 BIJLAGE F

Tabel B5: 2-zijdige p-waarden, gemiddelde waarden en 25e, 50e en 75e percentielen verkregen voor de statistische vergelijkingen tussen woningtypes (particuliere woningen vs. openbare gebouwen) van semi-gekwantificeerde concentraties verkregen voor quaternaire ammoniumverbindingen.

Klasse	Stof	2-zijdige p-waarde	Gebouw type	Gemiddelde rang	Percentiel			N
					25	50	75	
ATMACs	C10-ATMAC	0.004	Publiek	29.41	0.010	0.025	0.042	22
			Particulier	18.08	0.006	0.011	0.019	24
	C12-ATMAC	0.065	Publiek	27.32	0.068	0.125	2.613	22
			Particulier	20.00	0.035	0.084	0.329	24
	C14-ATMAC	0.235	Publiek	14.92	0.053	0.084	0.116	22
			Particulier	19.10	0.000	0.066	0.297	24
	C16-ATMAC	0.860	Publiek	23.14	0.716	1.124	1.323	22
			Particulier	23.83	0.304	0.951	2.053	24
	C18-ATMAC	0.153	Publiek	20.55	0.131	0.233	0.423	22
			Particulier	26.21	0.134	0.336	0.764	24
	C20-ATMAC	0.155	Publiek	20.57	0.072	0.134	0.250	22
			Particulier	26.19	0.074	0.256	0.736	24
	C22-ATMAC	0.118	Publiek	20.27	0.521	1.224	1.887	22
			Particulier	26.46	0.562	2.220	3.761	24
BACs	C10-BAC	0.350	Publiek	25.43	0.009	0.013	0.037	22
			Particulier	21.73	0.004	0.011	0.034	24
	C12-BAC	0.108	Publiek	26.82	2.535	3.301	5.017	22
			Particulier	20.46	1.181	2.523	4.018	24
	C14-BAC	0.135	Publiek	26.59	1.359	1.932	2.840	22
			Particulier	20.67	0.524	1.138	2.914	24
	C16-BAC	0.750	Publiek	24.16	0.215	0.301	0.528	22
			Particulier	22.90	0.125	0.271	0.878	24
	C18-BAC	0.416	Publiek	21.82	0.233	0.415	0.724	22
			Particulier	25.04	0.197	0.488	1.430	24
DDACs	C8-DDAC	< 0.001	Publiek	31.61	0.011	0.020	0.050	22
			Particulier	16.06	0.000	0.005	0.011	24
	C10-DDAC	0.173	Publiek	26.32	1.341	2.245	3.503	22
			Particulier	20.92	0.922	1.835	2.297	24
	C12-DDAC	0.668	Publiek	22.61	0.006	0.011	0.019	22
			Particulier	24.31	0.006	0.012	0.193	24
	C14-DDAC	0.741	Publiek	22.82	0.011	0.015	0.031	22
			Particulier	24.13	0.009	0.018	0.047	24
	C16-DDAC	0.113	Publiek	20.23	0.281	0.716	2.118	22
			Particulier	26.50	0.508	1.173	2.898	24
	C18-DDAC	0.367	Publiek	21.64	0.391	1.122	1.888	22
			Particulier	25.21	0.479	1.276	2.573	24

Tabel B7: 2-zijdige p-waarden, gemiddelde waarden en 25e, 50e en 75e percentielen voor de statistische vergelijkingen tussen de leeftijden van de bemonsterde gebouwen (< 20 jaar vs. > 20 jaar) van de semi-gekwantificeerde concentraties die zijn verkregen voor quaternaire ammoniumverbindingen.

Klasse	Stof	2-zijdige p-waarde	Leeftijd	Gemiddelde rang	Percentiel			N
					25	50	75	
ATMACs	C10-ATMAC	0.335	< 20y	18.00	0.009	0.017	0.335	17
			> 20y	14.80	0.008	0.011	0.210	15
	C12-ATMAC	1.000	< 20y	16.50	0.053	0.090	0.256	17
			> 20y	16.50	0.032	0.147	0.373	15
	C14-ATMAC	0.247	< 20y	18.29	0.055	0.093	0.265	17
			> 20y	14.47	0.000	0.055	0.223	15
	C16-ATMAC	0.925	< 20y	16.65	0.553	0.995	1.677	17
			> 20y	16.33	0.140	0.946	2.111	15
	C18-ATMAC	0.748	< 20y	17.00	0.184	0.323	0.545	17
			> 20y	15.93	0.108	0.291	0.717	15
	C20-ATMAC	0.677	< 20y	15.85	0.083	0.134	0.434	17
			> 20y	17.23	0.059	0.196	0.878	15
	C22-ATMAC	0.720	< 20y	15.94	0.605	1.254	2.750	17
			> 20y	17.13	0.371	1.734	3.983	15
BACs	C10-BAC	0.281	< 20y	14.82	0.006	0.010	0.023	17
			> 20y	18.40	0.005	0.029	0.055	15
	C12-BAC	0.509	< 20y	15.47	1.491	2.346	3.794	17
			> 20y	17.67	1.150	3.560	5.845	15
	C14-BAC	0.835	< 20y	16.18	0.875	1.217	3.076	17
			> 20y	16.87	0.471	2.008	4.484	15
	C16-BAC	0.220	< 20y	14.59	0.126	0.284	0.584	17
			> 20y	18.67	0.205	0.326	2.713	15
	C18-BAC	0.265	< 20y	14.76	0.138	0.437	0.871	17
			> 20y	18.47	0.283	0.518	1.408	15
DDACs	C8-DDAC	0.279	< 20y	14.82	0.000	0.005	0.012	17
			> 20y	18.40	0.003	0.007	0.024	15
	C10-DDAC	0.806	< 20y	16.12	1.163	1.827	2.479	17
			> 20y	16.93	1.228	1.933	2.494	15
	C12-DDAC	0.835	< 20y	16.18	0.007	0.012	0.018	17
			> 20y	16.87	0.006	0.012	0.020	15
	C14-DDAC	0.895	< 20y	16.29	0.008	0.017	0.036	17
			> 20y	16.73	0.011	0.015	0.042	15
	C16-DDAC	0.282	< 20y	14.82	0.313	0.590	1.965	17
			> 20y	18.40	0.458	1.306	2.088	15
	C18-DDAC	0.079	< 20y	13.76	0.340	0.558	1.381	17
			> 20y	19.60	0.543	1.776	2.442	15



8.7 BIJLAGE G

Tabel B9: Stoffen die gedetecteerd werden met een detectiefrequentie boven 75 % en/of deel uitmaken van het overzicht VAN MOGELIJKE GEZONDHEIDSEFFECTEN (toxicity screening) en/of deel uitmaken van van het voorstel voor HBM-programma.

Name	Formula	DF total [%]	Class	Group	toxicity screening	HBM approach
Diethylhexyl adipate (DEHA)	C22H42O4	100.0	Adipates	CEC	X	X
Nonyl undecyl adipate (pred)	C26H50O4	93.5	Adipates	CEC		X
Adipic acid, methyl vinyl ester	C9H14O4	21.7	Adipates	CEC		X
Vinyl Hydrogen Adipate	C8H12O4	17.4	Adipates	CEC		X
ethylenebis(oxyethylene) bis[3-(5-tert-butyl-4-hydroxy-m-tolyl)propionate] (Irganox 245)	C34H50O8	97.8	Antioxidant	CEC	X	
Acetyltributyl citrate (ATBC)	C20H34O8	100.0	Citrates	CEC	X	
propiconazole	C15H17Cl2N3O2	76.1	Fungicide	CEC		
N,N-ethane-1,2-diylbishexadecan-1-amide	C34H68N2O2	100.0	Other	CEC	X	
N,N-ethane-1,2-diylbis(12-hydroxyoctadecan-1-amide)	C38H76N2O4	97.8	Other	CEC		
triphenylphosphine oxide	C18H15OP	95.7	Other	CEC		
Triethylene glycol bis(2-ethylhexanoate) (not in suspect list)	C22H42O6	95.7	Other	CEC		
dibenzylamine	C14H15N	93.5	Other	CEC		
N-(2-HYDROXYETHYL)OCTADECANAMIDE	C20H41NO2	100.0	PCP/Cleaning	CEC		
N,N-bis(2-hydroxyethyl)dodecanamide	C16H33NO3	97.8	PCP/Cleaning	CEC		
diethyltoluamide (DEET)	C12H17NO	78.3	PCP/Cleaning	CEC		
N,N-bis(2-hydroxyethyl)oleamide	C22H43NO3	78.3	PCP/Cleaning	CEC		
triphenyl phosphate (TPP)	C18H15O4P	100.0	PFRs	CEC		X
tris(2-butoxyethyl) phosphate	C18H39O7P	100.0	PFRs	CEC	X	X
EHDPPH	C20H27O4P	95.7	PFRs	CEC		X

tris(1-chloropropan-2-yl) phosphate (TCIPP)	C9H18Cl3O4P	93.5	PFRs	CEC	X	X
Tetraphenyl resorcinol bis(diphenylphosphate), Technical grade	C30H24O8P2	91.3	PFRs	CEC		X
CDPHP	C19H17O4P	89.1	PFRs	CEC		X
bis(2,4-di-tert-butylphenyl)pentaerythritol diphosphate (BDTPDP)	C33H50O8P2	89.1	PFRs	CEC	X	X
Tris(2-ethylhexyl) phosphate	C24H51O4P	87.0	PFRs	CEC	X	X
Tri-P-cresyl phosphate (TTP)	C21H21O4P	84.8	PFRs	CEC		X
[4-[2-(4-diphenoxyphosphoryloxyphenyl)propan-2-yl]phenyl] diphenyl phosphate	C39H34O8P2	84.8	PFRs	CEC	X	X
bis(2-butoxyethyl) hydrogen phosphate	C12H27O6P	54.3	PFRs	CEC		X
Tributylphosphate	C12H27O4P	52.2	PFRs	CEC		X
Bis(2-Butoxyethyl) butyl Phosphate	C16H35O6P	45.7	PFRs	CEC		X
bis(2-ethoxyethyl) hydrogen phosphate	C8H19O6P	26.1	PFRs	CEC		X
didecyl butoxyethoxyethyl phosphate (DDeBEEP)	C28H59O6P	4.3	PFRs	CEC		X
Tridecylphosphate	C30H63O4P	2.2	PFRs	CEC		X
Diisononylphthalate	C26H42O4	100.0	Phthalates	CEC	X	X
Didecyl phthalate	C28H46O4	97.8	Phthalates	CEC		X
Decyl nonyl phthalate	C27H44O4	93.5	Phthalates	CEC	X	X
DEHP	C24H38O4	91.3	Phthalates	CEC		X
Diheptyl phthalate	C22H34O4	89.1	Phthalates	CEC		X
Decyl undecyl phthalate	C29H48O4	82.6	Phthalates	CEC	X	X
Diundecyl phthalate	C30H50O4	45.7	Phthalates	CEC		X
Undecyl didecyl phthalate	C31H52O4	4.3	Phthalates	CEC		X
tris(2-ethylhexyl) benzene-1,2,4-tricarboxylate	C33H54O6	100.0	Trimellitates	CEC		X



6:2 diPAP	C18H9F30O4P	98.0	grouped n:2 fluorotelomer phosphate diesters (diPAP)	PFAS	X	
Perfluorooctanoic acid (PFOA)	C8HF15O2	80.0	grouped Perfluoroalkyl carboxylic acids (PFCAs)	PFAS	X	
Acesulfame K	C4H5NO4S	86.0	PM	PM	X	
[(methylethylene)bis(oxy)]dipropanol	C9H20O4	87.0	Potential PM	PM		
Octyl sulfate	C8H17O4S	85.0	Potential PM	PM		
1,3-Diphenylguanidine	C13H13N3	94.0	vPvM & PMT	PM	X	
1,2-Benzisothiazol-3(2H)-one 1,1-dioxide	C7H5NO3S	86.0	vPvM & PMT	PM	X	
Bis(2-methoxyethyl) ether	C6H14O3	85.0	vPvM & PMT	PM	X	
2,4-Dinitrophenol	C6H4N2O5	82.0	vPvM & PMT	PM	X	
C12-ATMAC	C15H34N	100.0	ATMAC	QAC		X
C16-ATMAC	C19H42N	100.0	ATMAC	QAC	X	X
C18-ATMAC	C21H46N	100.0	ATMAC	QAC		X
C22-ATMAC	C25H54N	100.0	ATMAC	QAC		X
C10-ATMAC	C13H30N	97.8	ATMAC	QAC		X
C20-ATMAC	C23H50N	84.8	ATMAC	QAC		X
C14-ATMAC	C17H38N	76.1	ATMAC	QAC		X
C8-ATMAC	C11H26N	28.3	ATMAC	QAC		X
C14-BAC	C23H42N	100.0	BAC	QAC		X
C16-BAC	C25H46N	100.0	BAC	QAC		X
C18-BAC	C27H50N	100.0	BAC	QAC		X
C12-BAC	C21H38N	97.8	BAC	QAC	X	X
C10-BAC	C19H34N	93.5	BAC	QAC		X
C20-BAC	C29H54N	58.7	BAC	QAC		X
C13-BAC	C22H40N	34.8	BAC	QAC		X
C8-BAC	C17H30N	19.6	BAC	QAC		X
C6-BAC	C15H26N	4.3	BAC	QAC		X
C2:C12-DDAC	C16H36N	100.0	DDAC	QAC		X
C2:C14-DDAC	C18H40N	100.0	DDAC	QAC		X



C10:C10-DDAC	C22H48N	100.0	DDAC	QAC	X	X
C14:C14-DDAC	C30H64N	100.0	DDAC	QAC		X
C16:C16-DDAC	C34H72N	100.0	DDAC	QAC		X
C16:C18-DDAC	C36H76N	100.0	DDAC	QAC	X	X
C18:C20-DDAC	C40H84N	100.0	DDAC	QAC		X
C12:C12-DDAC	C26H56N	97.8	DDAC	QAC		X
C18:C18-DDAC	C38H80N	97.8	DDAC	QAC		X
C10:C8-DDAC	C20H44N	93.4	DDAC	QAC		X
C8:C8-DDAC	C18H40N	84.7	DDAC	QAC		X
C2:C16-DDAC	C20H44N	34.8	DDAC	QAC		X
C2:C18-DDAC	C22H48N	4.4	DDAC	QAC		X
Choline	C5H14NO	100.0		QAC		X
1-Hexadecylpyridinium	C21H38N	45.6		QAC		X
Benzethonium	C27H42NO2	26.1		QAC		X

